

ԿԱՎԱՑԻՆ ԼԱՆՁԵՐԻ ԵՐԿԱՐՈՒՏԵՎ. ԿՈՑՈՒՆՈՒԹՅՈՒՆԸ*

Պրոֆեսոր Ա. Ռ. ՍԿԵՄՈՒՏՈՆ**

Խմբագրի կողմէն է այս լուսաբանությունը՝ «Կավացին լանձերի երկարությունը թեմայով», կարդացված պրոֆ. Ա. Ռ. Սկեմուտոնի կողմից 1964 թ. գիտըրական համակակիցների համար հանդիպության առաջ, մեծ նշանակություն ունեցավ գերազանցությամբ կավացին կավացիած լանձերում կատարվող պրոցեսները հասկանալու համար: Այդ ամսաբանությունը հրապարակվել է «Géotechnique» ամսագրում, 1964 թ. (5, 14, N 2, 77—101):

Դասախոսության այս հայերեն և ռուսերեն թարգմանությունները հրատարակում ենք Հեղինակի ամաձայնությամբ:

Ն Ա. Խ Ա. Բ Ա. Ն

Կավերում փորփածք անցնելիս ցանկացած կետում ժակուտկենացին ճնշում կախված է մասնավորապես գրունտացին ջրերի հորիզոնի դիրքերից, ինչպես առևել զգայի շափով կավերի պատասխան ռեակցիացից, լարումների փոփոխություններից, որք առջի է ունենում փորման հետևանքով: Սակայն, ժամանակի ընացրում, ժակուտկենացին ճնշումը կավերում աստիճանաբար հարմարվում է, չնուշի որ վերջապես հաստատվում է հիգրոստատիկ հավասարակշռություն ունենացին ջրերի հետ: Այս փուլը հայտնի է որպես «երկարատև» պայմաններ՝ հայկագրություն «կարճատև» պայմանների կամ «շինարարության ավարտի» արժանների:

Բոլոր բնական լանձերը գոյություն ունեն երկարատև պայմաններում, ինչպես փորփածքներում այդ փուլը վրա է հասնում միայն մի քանի ամիս տարի հետո, գրա համար անհրաժեշտ ժամանակի տևողությունը՝ կավացի զլավորապես կավերի ջրաթափանցելիությունից:

Ջրազգներ միայն երկարատև պայմաններով: Այսպիսով, բոլոր դեպքերում, լինի զա փորփածք կամ բնական լանչ, ժակուտկենացին ճնշումը սահեցան պոտենցիալ կամ իրական մակերեսի ցանկացած կետում կարող է որոշվել առունեացին ջրերի հոսքի ցանցի միջոցով (նկ. 1***): Օդովկով ստատիկ նկա-

* Խոսերենից թարգմանեցին երկարա.-միներ. գիտ. թեկն. Գ. Սարգսյանը և տեխն. գիտ. նկա. Զ. Տեր-Մարտիրոսյանը:

** Հանդինի համարարանի հմակերիալ կուէչի բաղարացիական շինարարության պրոֆեսոր, ազգագործական ընկերության անդամ:

*** Նկարները տե՛ս էջ 133—146:

տառումներով, հնարավոր է սահեցման մակերեսի ցանկացած կետում բնդութառությամբ, և ճշգումը և շշչափող լարումը:

Այժմ դիտարկենք դիմագրությունը, որը ցույց է տալիս կավը՝ սահեցման այդ մակերեսով: Վազուց հայտնի է, որ կավի սահմանը դիմագրությունը կարելի է արտահայտել կուպու-Տերցագիի հավասարումով:

$$s = \bar{c}' + (z - u) \operatorname{tg} \bar{\varphi}',$$

որտեղ \bar{c}' «կցումն» է, $\bar{\varphi}'$ -ը «սահմանը դիմագրության անկյունը»: Երկու պահումներում էլ արտահայտված են էֆեկտիվ լարումով $z' = z - u$, որը զործում է նորմալ սահեցման մակերեսի նկատմամբ:

Կայուն լանջում եղած ընդհանուր սահմանը դիմագրության միայն մի մասն է մորթիլիզացվում՝ հավասարակշռելու սահմանը ընդհանուր ուժը: Այսպիսով, մննք կարող ենք ընդհանրապես գրել

$$\sum z = \sum \frac{\bar{c}'}{F} + \sum (z - u) \frac{\operatorname{tg} \bar{\varphi}'}{F},$$

արտեղ F -ը որոշվում է որպես «պաշարի գործակից»: F -ի մեծությունը կայուն լանջերի համար $1,0$ -ից մեծ է: Բայց, եթե տեղի է ունենում փլուզում, սահեցման մակերեսով սահմանը բոլոր լարումների գումարը ճշտորեն հավասարվում է եղած սահմանը դիմագրությանը և $F=1,0$:

Կան մի բանի հուսալի մեթոդներ* ավյալ լանջի F -ի հաշվարկման համար, եթե միայն հայտնի է ծակոտկենային ճնշումը և ստացվել են \bar{c}' և $\bar{\varphi}'$ մեծությունները: Համեմատաբար հեշտ գործ է շնախտված կավերի նմուշների սահման դիմագրության փորձարկումը: Բայց, ինչպես ցույց է տալիս կավերում իրական սողանքների վերլուծությունը, սովորական փորձարկումներով ստացված սահմանը դիմագրության մեծությունները ոչ մի կապ չունեն այն մեծությունների հետ, որոնք գործել են կավերի մեջ փլուզման ընթացքում:

Այս եղրակացությունը, որը ներկայումս հաստատված է առանց որևէ կասկածի, ակներենորեն ունի մեծ պրակարի նշանակություն: Դրա համար մենք պետք է ձգտենք համոզվելու, թե ինչու որոշ զեպքերում նկատվում է զգալի տարրերություն սովորական լարորատոր փորձարկումների արդյունքների և սահման դիմագրության իրական դաշտային նշանակությունների միջև: Նման դեպքերում պետք է աշխատենք մշակել ձեռափոխված լաբորատոր մեթոդներ, որոնք կարող են տալ հուսալի արդյունքներ՝ դրանք ինժեներական նախագծման մեջ վաստակություն սպառագործելու համար: Այդ երկու խնդիրները կազմում են այս գասախոսության բովանդակությունը:

ՊԼԱԿԱՑԻՆ ԽՎ. ՄՆԱՑՈՐԴԱՅԻՆ ԳԻՄԱԳՐՈՒԹՅՈՒՆ

Ստորև հաճախ հիշատակվելու ևն «գերկոնսոլիդացված» կավերը, ուստի լավ կլինի պարզաբանենք այդ տերմինի նշանակությունը: Նկ. 2-ի

* Այս դասախոսության մեջ քննարկված գեպքերում, եթե սահեցման մակերեսի կարգածքը մոտենած է շրջագծի աղեղին, կիրառվել է զոկոր Ա. Վ. Բիչոսի առաջարկած վերլուծության հայտնի մեթոդը (Bishop, 1954):

կետը պատկերում է կավին անմիջապես նստվածքակուտակումից հետո, որի ակ էստուարիայի հատակում: Կավի հետագա նստեցումն առաջացնում է փեկտիվ լարման ավելացում և խոնավության նվազում: Ե կետում ներկայացած փուլում կավը հանդիսանում է շնորմալ-կոնսոլիդացված այն իմաստով, որ նա չի ենթարկվել ավելի բարձր ճնշումների, քան այժմ գործող վերադիր մրտերի ճնշումը: Նորմալ-կոնսոլիդացված կավերի սահմանը դիմադրությունը չափող համեմատական է էֆեկտիվ ճնշմանը, որի հետևանքով դիմադրության ճնշման կապն արտահայտող գրաֆիկը կոռորդինատների սկզբնակետով անցուող ուղիղ գիծ է:

Ետառցագաղտային կավերից շատերը նորմալ-կոնսոլիդացված են. բայսը նստել են ծովի մակարդակի էվստատիկ բարձրացման ընթացքում, որը ուղղի է ունեցել ուշ պերիստոցենում* սառցավահանի հալման հետեւանքով: Մակայն կավերի զգայի մասն ավելի հին է և իր երկրարանական պատմության ընթացքում ենթարկվել է դդայի ճնշումների, որոնք համապատասխանում են սրանց վրա բնկած մի բանի հարյուր և նույնիսկ հազար մետր հաստությամբ սպառների կշռին, որոնք հետագայում հեռացվել են էրողիայի հետևանքով: Այդ կավերը զանվում են գերկոնսոլիդացված վիճակում՝ ներկայացված նկ. 2 և կետով:

Ճնշման նվազմանը զուգընթաց ավելացել է խոնավությունը, սակայն խոսափության այդ աճը զգալիորեն պակաս է կոնսոլիդացիայի ընթացքում խոնավության նվազումից: Այդ պատճառով չնայած ճ կետում կավը զանվում է նույն էֆեկտիվ ճնշման տակ, ինչ և կավը Յ կետում, գերկոնսոլիդացված կավի խոսափությունն ավելի քիչ է, մասնիկները ավելի խիտ են դասավորված և զարգանալի չեն, որ սահմանը դիմադրությունն ավելի է, քան նորմալ-կոնսոլիդացված կավերի մաս:

Գերկոնսոլիդացված կավերի օրինակ են լեյայի, զոլտի և լոնգոնյան կավերը: Դրանք, ինչպես նաև այդ կարգի շատ այլ կավեր, ճեղքավորված են (fissured) և ունեն անշատման ճեղքեր (jointed): Դրանք երբեմն պարունակում են նաև սահման հայելիներ, հավանաբար որպես տեկտոնիկ շարժումների համար էրոզիոն ցիկլի ժամանակ ոչ-հավասարաշափ լայնացման արդյունք:

Գլաբարային կավերը նույնպես գերկոնսոլիդացված են՝ ավելի շուտ սառուցի, քան նստվածքների կշռի ծանրության տակ, քայլ հաճախ դրանք քիչ են խախաված ձեռք չարված լինելու պատճառով և հանդիսանում են ճեղքավորված ճյուղ, առանց սահման հայելու: Շատ նորմալ-կոնսոլիդացված կավեր են զերծ են այս թերություններից, չնայած նման կավերում երբեմն դիտվում են ճեղքեր:

Այս դասախոսության մեջ ես կանդրագառամ զիմավորապես գերկոնսոլիդացված կավերին, քանի որ զրանց հետ կապված են ավելի խոշոր պրոբլեմներ և ավելի տարածված են, քան նորմալ-կոնսոլիդացված կավերը^{**}:

Քիտենը գերկոնսոլիդացված կավերի սահմանը դիմադրության բնութագրերը (նկ. 3): Այս դժագրի վրա ցույց են տրված տիպիկ արդյունքներ, որոնց

* Զարրորդացին սիստեմի վերին բաժնին (ծան. խմբագրի):

** Բարձր զգայնության գերկոնսոլիդացված կավերը, ինչպես օրինակ, կեդի կավերն Արմելլան կանագայում, իբենցից ներկայացնում են հատուկ խումբ: զրանց հատկությունները կարող են նկատելիորեն տարրերվել տիպիկ գերկոնսոլիդացված կավերի հատկություններից, որոնք այստեղ քննարկվում են:

ստացված են գանդաղ ցամաքուրդային փորձարկումների ընթացքում սահմանադիրի մեջ՝, որտեղ կավը ևնթարկվել է մի բանի սանտիմետրի հասնող տեղաշարժերի:

Կավի գեֆորմացմանը զուգընթաց առաջանում է աճող դիմադրություն: Սակայն էֆեկտիվ ճնշման տվյալ նշանակության դնապում կա դիմադրության որոշակի սահման, որը կարող է ցուցաբերել կավը. դա Տ₁ «պիկային դիմադրություն» է: Սովորական պրակտիկայում փորձը դուգարեցվում է, երբ պիկային դիմադրությունը պարզորեն հաստատված է և Տ₁-ի մեծությունը պարզապես նշանակվում է որպես կավի «սահմանադրություն» (տվյալ էֆեկտիվ ճնշման դեպքում), առանց հետագա սահմանափակումների, բացի, հասկանալի է, այն ցուցմունքի, եթե փորձն անցկացվել է ցամաքուրդան պայմաններում, այսինքն առանց ծակոտկենային ճնշման զարգացման:

Բայց եթե փորձարկումը շարունակվում է, ապա մենք գտնում ենք, որ տեղափոխման մեծացմանը զուգընթաց կավերի դիմադրությունը կամ ամրությունը նվազում է: Սակայն այդ պրոցեսը, որը կարելի է անվանել «գեֆորմացիայի ընթացքում թուլացում», չի հանդիսանում անսահման, բանի որ տվյալ սահմանում ձեռք է բերվում հայտնի Տ₁ «մնացորդային դիմադրություն», որը պահպանվում է նույնիսկ կավը մեծ տեղափոխումների ենթարկվելիս^{**}: Մինչև այժմ ուսումնասիրված շատ քիչ կավերի մեջ այդ տեսակետից դիմադրությունն ընկնում է մինչև մնացորդային նշանակությանը այն բանից հետո, երբ պիկային դիմադրությունից հետո կավը տեղաշարժվում է 2—5 ամ-ութ: Սակայն կան դաշտային տվյալներ, ըստ որի դիմադրությունը չի դառնում ավելի նվազ, բան այդ լարորատոր նշանակությունը (կամ շատ քիչ նվազ) նույնիսկ մի բանի մետք տեղաշարժի գեպրում:

Այժմ կարելի է սահմանարքում նույն կավի վրա անցկացնել երկրորդ փորձը, բայց այլ էֆեկտիվ ճնշման տակ: Արդյունքները կլինեն նույն կարգի, ինչպես վերը նկարագրածները: Եթե ենթարկենք, որ կատարված է երեք նման փորձ, ապա պիկային և մնացորդային դիմադրությունները, որոնք գրաֆիկում ներկայացված են որպես էֆեկտիվ ճնշման փունկցիա, ցուց կատան տարրերություն, որը մոտավորապես համապատասխանում է Կուլոն—Տերցադի օրենքին: Դրա համար պիկային դիմադրությունը կարելի է արտահայտել հետեւալ հավասարումով:

$$S_1 = c' + \sigma' \lg \varphi',$$

* Ավելի ճիշտ «արկղային գործիքում սահման» համար: «Սահմանադիրի գործիք» տերմինն ավելի լայն տարածում է գտել ուսուական գրականության մեջ (Սան. Խմբագրի):

** Զիսախտված կավերի (Վեզեր—Էլրայի ջրանցքից) մնացորդային դիմադրության առաջն որոշումը հրատարակվել է 1937-ին դ-ր Բ. Թիգեմանի կողմից (Tiedemann, 1937): Նա սահման համար կատարել է ցամաքուրդային փորձարկումներ օպակային գործիքի վրա: Նման փորձարկումներ կատարվել են նաև դ-ր Մ. Յու. Հվորսլիի կողմից երկու տեսակի կավերի վրա (վենական տեղել և փորձ թելտայից կավ), որոնք կոնսոլիդացված են շիլայանման վիճակից (Hvorslev, 1937): Պրոֆ. Բ. Հեֆելին առաջինը կիրառել է «մնացորդային» տերմինը 1938 թվին գերմաներեն և 1950 թվին անգլերեն լեզուներում (Haeseli, 1938, 1950): Նրա ծառայությունը կայանում է նրանում, որ նա հաստատապես նշում էր մնացորդային դիմադրության պրակտիկ նշանակությունը զենան այն ժամանակ, եթե հազիվ թե որոնք մեկն հետաքրքրում էր կավերի սահման այդ տեսակյունից: Զ. Մակ նեղ թարենքուրը հայտնել է այն փորձարկումների մասին, որոնցով մոտավորապես որոշվում է որոշ խացված կավերի մնացորդային դիմադրությունը (Turnbull, 1952):

իսկ մնացորդային դիմագրությունը

$$s_r = c_r - z' \operatorname{tg} z_r'$$

Փորձարկումներից ստացված արդյունքները համարյա անփոփոխ ցուց են տալիս, որ c_r շատ փոքր մեծություն է, հավանաբար զրոյից շատ չնշին տարբերվող: Այդ պատճառով ևս ենթազրում եմ, որ դասախոսության հնատագա մասում մենք կարող ենք մնացորդային դիմագրությունը գրել այսպես:

$$s_r = z' \operatorname{tg} z_r'$$

Այլ խոսքով, պիկային դիմագրությունից զեպի մնացորդայինը շարժվելիս, c' կցման հավածքը լրիվ վերանում է: Նույն պրոցեսի ընթացքում նվազում է նաև սահմանափակության անկյունը՝ որոշ կավերի մեջ 1° կամ 2°, իսկ մյուս ների մեջ՝ նույնիսկ մինչև 10°:

Հիշատակության արժանի է, որ սահմանափակությունը պերկոնսուլիդացված կավերը ձգտում են ընդարձակվել, մանավանդ պիկն անցնելուց հետո, որի հետեւնքով հաճախ պիկային դիմագրության որոշ մասի անկումը պարզանացված է խոնավության աճով: Դրա հետ իր նշանակությամբ համեմատելի է միայն նույր ժապավենների կամ մարզերի զարգացումը, որոնց մեջ թեփուկային կավային մասնիկները կողմնորոշվում են սահմանի ուղղությամբ*: Նման մասնիկների զանգվածի սահմանափակությունն անկանոն կողմնորոշման զեպրում պետք է լինի ամելի, քան մասնիկների զուգահեռ դասավորման զեպրում:

Եվ բանի որ հնարավոր է, որ կողմնորոշման մարզերի առաջացումն սկսվում է համեմատաբար փոքր զեֆորմացիաների ժամանակ (Գոլզդատեյն և Ճ., 1961**), կան կարենոր ապացուցներ համարյա լրիվ կողմնորոշված կավային մասնիկների անբնդատ ժապավենների առկայության, կավեր, որոնք ենթարկված են մեծ զեֆորմացիաների. այդ ապացուցներն ստացվել են ինչպես լարորատորիայում (Astbury, 1960), այնպես էլ զաշտում (ինչպես այդ կնկարագրի ստորե):

Անկախ պիկն անցնելուց հետո դիմագրության անկման ֆիզիկական բացարձությանը, դիմագրության այդ նվազման դոյլությունը (մանավանդ զերկոնսուլիդացված կավերում) կարելի է համարել որպես լրիվ հաստատված փաստ: Ուստի, եթե որևէ պատճառով կավը ստիպված է անցնելու պիկը նրա զանգվածի որեւէ որոշակի կետում, ապա դիմագրությունն այդ կետում նվազում է: Դրա հետևանքով կավի որևէ այլ կետում գործազրում են լրացուցիչ լարումներ, որոնք հանդեցնում են այն բանին, որ պիկն անցնում է նաև այդ կետում: Այդ հանապարհով սկսվում է առաջընթաց քայլայման զարգացումը և պրոցեսի վերջում սահմանափակությունը երկարությամբ դիմագրությունն ընկնում է մինչև մնացորդային արժեք: Պարզ է, որ մասնավոր զեպրում սահմանը կարող է կատարվել ավելի վաղ, քան մինչև ողջ խորությամբ կհաստատվի մնացորդային դիմագրությունը, սակայն հենց որ սկսվում է առաջընթաց քայլայմումը,

* Թեփուկային կավային մասնիկների կողմնորոշումը սահմանափակ հաստատված է պրաֆ. Գ. Ե. Տեր-Մանանյանի կողմից երեսնական թվականների կեսերին. այդ թեմայով զեկուցանքը ներկայացված էր Գրունաների մեխանիկայի և հիմքաշինարարության 1-ին միջազգային կոնգրեսին, որը կայացել է 1936-ին Քեմբրիջում, Մասաչուզետսի նահանգում (ԱՄՆ) (Սահմանագրի):

** Դրականությունը տե՛ս էջ 132:

կազի միջին դիմագրությունն անշեղորեն նվազում է սահմանային մնացորդային դիմագրության ուղղությամբ:

Այժմ լավ հայտնի է, որ կարծր նյութերի դիմագրությունը խիստ նվազում է միկրոսկոպիկ ձեղքերի, անցքերի և այլ պակասությունների առկայության դեպքում: Պարզ արտահայտվելով, նրանց գործունեությունը կայանում է լարումների կենտրոնացման մեջ. նրանք հանդիսանում են պատճառն այն բանի, որ քայլայումը տեղի է ունենում միջին լարումների գեպքում, ավելի նվազ, քան նյութի իդեալական դիմագրությունը*: Եվ կարծես թե հմար չկա հնմապքելու, որ միկրոսկոպիկ ձեղքերը, անջատման ձեղքերը և առհեցման հայելիները, որոնք առկա են շատ կավերի մեջ, նույնպես չեն առաջացնում կոպիտ համանման ձեռվլ լարումների կենտրոնացում, անկախ այն փաստից, որ նրանք գործում են որպես թուլացման հրապարակներ, քանի որ նվազ հնարավոր է, որ դիմագրությունը ձեղքերում և անջատման ձեղքերում կարող է նկատելիորեն գերազանցել մնացորդայինի արժեքը:

Այստեղից տրամաբանական է սպասել, որ ձեղքավորված և կամ անջատման ձեղքերով կավի ընդունակ չէ զարգացնելու իր պիկային դիմագրությունը սահնեցման մակերեսի ողջ երկարությամբ: Ձեղքերը և անջատման ձեղքերը ոչ միայն նվազեցնում են կավային զանգվածի միջին դիմագրությունը, այլև նրանք կարող են տեղական գերլարումների հետևանքով նպաստել պիկի վերացմանը. դրանից հետո տեղի է ունենում դիմագրության զարգացող անկում:

Ձեղքերը և անընդհատության մյուս ֆիզիկական խախտումները կավերի մեջ չեն հանդիսանում սողանքների առաջացման միակ պատճառը, սողանքներ, որոնք տեղի են ունենում պայմանական պիկային դիմագրությունից քավականին ցածր դիմագրությունների գեպքում: Լարորատոր փորձերով, որոնք տևում են մարսիմում մի քանի շաբաթ, որոշված պիկային դիմագրությունը կարող է զգալիորեն բարձր լինել որոշ կավերի մեջ զիտվող այն դիմագրությունից, եթե լարումը գործում է տարիներ, տասնամյակներ կամ զարեր: Այլ կերպ ասած, պետք է հաշվի առնել սահմանական սողքի ազգեցությունը: Սակայն մինչև այժմ կա շատ շնչին տեղեկություն պիկային դիմագրության մեծության վրա այդ ազգեցության գնահատման համար:

Խոնավության և շերմաստիճանի սեղոնային տատանումները ևս կարող են նվազեցնել կավերի դիմագրությունը, բայց նրանց ազգեցությունը սահմանափակվում է ոչ մեծ խորություններով: Հետևաբար, թեև նրանք հնարավոր մեծ նշանակություն ունեն գեռութքովագրական պրոցեսներում, քիչ հավանական է, որ սույն զարսախոսությունում քննարկվող համեմատաբար խոր տեղադրված փլուզումների (սահմանական սողքի ազգեցությունը) համար սեղոնային փոփոխություններն ունենան կարևորություն, բացառությամբ այն փաստի, թե սահումը կհամընկնի՝ ժամանակի այն հատվածներին, եթե գրունտային ջրերի մակարդակը չափազանց բարձր է: Այդ ժամանակաշրջանում ծակոտենային ճնշումն ևս չափազանց բարձր է և համապատասխանաբար էֆեկտիվ լարումը (իսկ այստեղից էլ դիմագրությունը) ցածր է: Այնուամենայնիվ մենք դործ ունենք կավի սահմանական պարամետրերի հետ, բայց ոչ այնպիսի երևույթների աղե-

* Ֆիզիկական պրոցեսների հիմալի ակնարկ, որը բնորոշում է պինդ ժարմինների բայցումը, կարելի է գտնել պրոֆ. Ս. Հ. Քոտրելի 1963 թվին կարգացած Բակորինան դասախոսության մեջ (Cottrell, 1963):

ցույլան հետ, ինչպիսիք են ծակոտկենային ճնշումը, երկրաշարժերը, կողային ճնշման վերացումը և այլն:

Նման բնդ՛աներացումներից հետո ժանոթանանք որոշ իրական փորձարկումների հետո նկ. 4-ում պատկերված են այն փորձարկման արգունքները, որոնք անցկացվել են Ռուլտոնս վուլֆի (Uttawafurzelziffern) սահեցման ենթարկված կավերի նմուշների վրա Առլլ Մեքանիկս լիմիտիդի (Soil Mechanics Ltd.) և իմպերիալ կոլեջի (Imperial College) լաբորատորիաներում: Կավին առաջացնում է հողմանարկած քարածխային արդիլիաների զոտի 10 մ հզարությամբ և ծածկում է հովափի լանջերը, որոնք էրոզիայի են ենթարկվել այդ շրջանում՝ վերջին ցամարային սառնեցման նահանջի ժամանակ:

Գրաֆիկի վրա ցույց է տրված կավի շխախտված նմուշի համար լարում-տեղաշարժում տիպիկ կորագիծը: Այդ փորձի ընթացքում պահպան է հաստատուն էֆեկտիվ ճնշում՝ 1,56 կգ/սմ²: Պիկային ճնշումը 0,76 կգ/սմ² է, իսկ մնացորդային դիմագրությունը՝ 0,36 կգ/սմ²: Դիմագրությունները պատկերված են վերին գծագրում՝ համապատասխանաբար շրջանակով և խաչիկով: Նման փորձարկումները այլ նմուշների վրա, տարրեր էֆեկտիվ ճնշումների տակ, ցույց նն տալիս, որ պիկային դիմագրությունը կարելի է արտահայտել $c' = 0,16 \text{ кг/սմ}^2$ և $\gamma' = 21^\circ$ պարամետրերով, մինչդեռ մնացորդային դիմագրությունն ընկնում է մինչև կորդինատների սկզբնակետով ($c'_c = 0$) անցնող դիմը, որն ունի $\gamma_c = 13^\circ$ թիրություն:

Այս փորձերն անց են կացվել կազազրանդեի կարման գործիքների մեջ հաստակագում քառակուսի կարվածքով նմուշների վրա, որոնք ունեին 6,0 սմ կողմ և 2,5 սմ հաստություն: Առաջին անցման ավարտից հետո (մոտ 8 մմ տեղաշարժով) կարման գործիքի տուփը ետ էր պատվում և կավի նորից ենթարկվում էր կարման: Այդ պրոցեսը կրկնվում էր այնքան, մինչև որ կավի դիմագրությունը նվազելով գանում էր հաստատուն: Եթեու ուղղությամբ էլ շարժումները գանգաղ էին, այնպես որ հավանաբար կավի մեջ չէր զարգանում ավելցուկային ծակոտկենային ճնշում: Փորձը տեսում է 6 օր*:

Պետք է ենթագրել, որ այդ տեխնիկան կատարյալ չէ: Ամեն հետադարձի ժամանակ գիտավում է ոչ մեծ պիկ, որը ցույց է տրված կետագծերով նկ. 4-ում և կան որոշ կասկածներ, որ սահեցման մակերեսի վրա կարող է տուշանալ զրիկացում: Իդեալական զեպքրում տեղաշարժը պետք է կատարվի անբնդատ մեկ ուղղությամբ և այդ իդեալին որպես մոտեցում դոկտ. Ալան Բիշուպը նախագում է սահմանագիտություն 17,8 սմ երկարությամբ: Մինչդեռ կարծես հետագարձ տեխնիկան տալիս է կավի շխախտված նմուշների մնացորդային դիմագրության սրոշման հասարակ և ընդունելի մեթոդ, օգտագործելով լուրաբան-ըոր լաբորատորիայում եղած սարքավորումը**:

* Պրաֆ. Գ. Բորովիկան նկարագրել է հետադարձ սահմանագիտության գործիքը կավի մեջ նույր լարային սպոսի միջազգության բացելով և նույնացը գործիքում այնպես, որպեսզի այդ հարթությունը հորիզոնի նկատմամբ թերված լինի ($45 + \gamma'/2$) անկյան տակ: Գեփորմացիալի շատ փոքր արգայիտյունների դեպքում անցկացրած նախնական փորձարկումները ցույց են տալիս, որ

** Հնարավոր է, որ մնացորդային դիմագրությունն անա կարելի է որոշել կավի մեջ նույր լարային սպոսի միջազգության բացելով և նույնացը գործիքում այնպես, որպեսզի այդ հարթությունը հորիզոնի նկատմամբ թերված լինի ($45 + \gamma'/2$) անկյան տակ: Գեփորմացիալի շատ փոքր արգայիտյունների դեպքում անցկացրած նախնական փորձարկումները ցույց են տալիս, որ

Ուղարկում ստացվել էին նույնպես մի քանի նմուշներ, որոնք իրենց մեջ պարունակում էին իրական սահեցման հարթություն: Այդ նմուշներից եռառանցք փորձարկումների համար պատրաստվել էին նմուշներ այնպես, որպեսզի սահեցման հարթությունները հորիզոնի նկատմամբ թերված լինեին 50° -ի տակ, իսկ նմուշները ենթարկվելին դանդաղ ցամաքուրդային փորձարկումների: Ինչպես և սպասվում էր, խախտումը կատարվել էր նախօրոք գոյություն ունեցող սահեցման մակերեսներով: Արդյունքները պատկերված են նկ. 4-ում սեղանակներով^{*}:

Կարելի է տեսնել, որ սահեցման հարթությունում զարգացող դիմադրությունը շատ մոտ է այն մնացորդային դիմագրությանը, որն ստացվում է այն դեպքում, եթե սկզբնապես շխախտված, շկտրված կամի նմուշը ենթարկվում է մեծ տեղաշարժեքի:

Ավելին, այն ժամանակ, եթե այս վերջին նմուշների դիմադրությունն ընկնում է մինչև մնացորդային արժեքը, զարգանում են բացառապես լավ արտահայտված սահեցման հայելիներ (նկ. 5, ներդիր):

Կիրառելով ձևովերով և մոմերով ներծծան տեխնիկան, իրին և Ռ. Ֆ. Հենիգերուն (Սովոր Մեքանիկս կիմիտիգից) հաջողվել է պատրաստել Ուղարկում վուդի կավերի մի քանի նուրբ կտրվածքներ, որոնք ցուց տվեցին սահեցման հարթության բնական տեսքը: Իրականում երեսում էր, որ նա կաղմված է անընդհատ ժապավեններից, որոնցում կավային մասնիկներն այնքան լավ էին կողմնորոշված սահերի ուղղությամբ, որ նրանք առաջացնում էին տեղամասեր, որոնք դրսերում են կարուկ մարում իւաչված նիկուններով դիտելիս: Սահեցման զինավոր «հարթությունն» ընդորկող տեղամասն ուներ 20 լ կարգի հաստություն: Նրա հետ էին կապված սահերի մի քանի երկրորդական տեղամասեր, որոնք տեղավորված էին կավի հիմնական զանգվածի ներսում, ունեին մեզմ, սահեցման մակերեսին ոչ միշտ զուգահեռ կողմնորոշում և մոտ 2.5 մմ հաստություն: Դա իրենից ներկայացնում էր փափկացած զոտի, որը հաճախ դիտվում էր անմիջապես սահեցման հարթության մոտ: Այս զոտու երկու եզրերում կավը հաղիկ թե դրսերում էր որևէ կողմնորոշում:

Ուժեղ կողմնորոշված մասնիկների տեղամասեր դիտվում էին նաև այն գեպքում, եթե լիրվ փափուկ տրորված կավը ենթարկվում էր մեծ դեֆորմացիայի (Astbury, 1960): Ավելին, իմպերիալ կոլեցում Դերեկ Փետլիի փորձերը ցուց տվեցին, որ Ուղարկում վուդի կավի, նորմալ-կոնսոլիգացված շղլացումից և պատրաստված հոսունության սահմանի գեպքում, դիմագրության մնացորդային անկյունը համեմատելի է՝ $\varphi' = 13^{\circ}$ արժեքի հետ, որը որոշված է բարձր

* Եթե խախտման ժամանակ եռառանցք նմուշներում զործող ուղղահայաց և հորիզոնական դարձումները σ'_1 և σ'_3 են և եթե ու հորիզոնականի նկատմամբ սահեցման հարթության թերության անկյունն է, ապա

$$s_r = \frac{1}{2} (\sigma'_1 - \sigma'_3) \cdot \cos(2\pi - 90^\circ); \quad \sigma' = \frac{1}{2} (\sigma'_1 + \sigma'_3) - \frac{1}{2} (\sigma'_1 - \sigma'_3) \cdot \sin(2\pi - 90^\circ),$$

նկ. 4-ում պատկերված տարր հոժ սկ շրջանակներից չորսը ներկայացնում են սահերի տափառ այնպես տեղաշրջված նմուշների փորձարկման արդյունք, եթե սահեցման հարթությունները համընկնում էին: Ուստի վերին և ստորին մասերի բաժանման հարթության հետ:

զեթորմացիանների գեպրում սահնեցման բնական հարթությունով՝ զերկոնսոլիդացված կավերի փորձարկման ժամանակ*:

Այդ պատճառով հարավոր է ենթադրել, զուցել պարզեցման որոշ աստիճանով, որ ցանկացած էքսէտիլ մնչման գեպրում մնացորդային դիմադրությանը նույնն է նորմալ-կոնսոլիդացված և գերկոնսոլիդացված կավերի համար, ինչպես պատկերված է** նկ. 6-ում: Եթե այդ գաղափարը ճիշտ է, ապա շուրջ անկյունը պետք է լինի հաստատուն յուրաքանչյուր տվյալ կավի համար, անկախ նրա կոնսոլիդացիայի պատմությունից և կախված է միայն նրա մասնիկների բնույթից:

Այս անսահեար որոշ շափով հաստատում են նկ. 7-ում բերված տվյալները: Գրաֆիկի վրա որոշ նորմալ-կոնսոլիդացված և գերկոնսոլիդացված կավերի համար սահների մնացորդային դիմագրության անկյունների մեծությունները ցույց են տրված կավային ֆրակցիայի արժեքի դիմաց (2 դ.-ից փոքր մասնիկների կշռային տոկոսը): Կամի երկու վիճակների միջև զտնված չէ որևէ սորշակի տարրերություն, մինչդեռ բոլոր կետերը ցույց են տալիս շուրջապահ կավային մասնիկների պարունակության աճին զուգը իսկապես, այս արդյունքները ցույց են տալիս, որ եթե զրունար ամրագությամբ կազմված լիներ կավային մասնիկներից, ապա սահների մնացորդային դիմագրության անկյունը և շիման շուրջապահ կլիներին համեմատելի: Շիման անկյունը որոշել են Հորը և Դեերը տարրեր շերտավոր-ցանցային միներալների, այդ թվում բիոտիտի, տալկի և բլորիդի համար (Horn and Deere, 1962): Արժեց ֆիզիկական հատկություններն, ըստ երեսութիւնն, շատ չեն տարրերվում այնպիսի կավային միներալներից, ինչպիսիք են իմմենիտը և կաոլինիտը***:

Բնդհակառակը, կվարցի հատիկներն ավազի կամ փոշու մեջ, որոնք կոպիտ զնդանեկն են, չեն կարող կողմնորոշվել: Ուստի ավազների և փոշու համար մնացորդային անկյունը մնում է հավասար այն նշանակությանը, որը մոտավորապես արտահայտվում է անկանոն կողմնորոշվածությամբ՝ մասնիկներին հատուկ հարաբերակցությամբ, մասնիկներ, որոնք կտրված են հաստատուն ծավալի գեպրում.

$$\operatorname{tg} \gamma_1 = \frac{\pi}{2} \operatorname{tg} \gamma_2$$

Պարզ է, որ բնդհանուր գեպրում, եթե զրունար կազմված է կավի և փոշու (և ավազի) մասնիկներից, փոշին կձգտի մեծացնել շուրջ շուրջապահ կամեմատ

* Խնաման արդյունքներ գիշատակվում են թիվեմանի կողմից: Ըստ նրա վեզեր-էլբայի շիրացումից նորմալ-կոնսոլիդացված կավի մնացորդային դիմագրությունը որոշ շափով տարրերվում է շիմանությամբ (գերկոնսոլիդացված) նմուշների մնացորդային դիմագրությունից (Tiedemann, 1937):

** Այսպիսով, թենի կարելի է ասել, որ մեծ գեֆորմացիաների գեպրում գերկոնսոլիդացված կավի իրականում իրեն պահում է որպես նորմալ-կոնսոլիդացված նյութ կցման զերսական հատվածով, սակայն այդ հաստատումն ընդհանրապես հանդիսանում է ճիշտ, եթե միայն մենք համեմատում ենք նորմալ-կոնսոլիդացված կավի հետ, որը բերված էր մնացորդային վիճակի:

*** Այս նույրը փորձելու անցկացվել են զախ. Հ. Մ. Հորնի և պրոֆ. Գ. Ռ. Դեերի կողմից շերտավոր-ցանցային միներալների երկու նմուշների կիվածի հարթաթյունում զարգացող շիման շափման միջոցով: Այդ պատճառով նման փորձելուն ստացված շիման անկյունը հանդիսանում է նաև կողմնորոշված մասնիկների հարակցության սահների դիմագրության անկյունը: Այս արժեքները ցույց են տրված նկ. 7-ում միներալների համար չը սկայան վիճակում:

կավային մասնիկների համար, խանգարելով որոշ շափով կավային մասնիկների լրիվ կողմնորոշմանը: Համենայն դեպք փոշու զգալի պարունակությունը նպաստում է կողմնորոշման այն պատճառով, որ փոշին ունի համեմատաբար բարձր սահման դիմագրության անկյուն:

ՄՆԱՅՈՐԴԱՅԻՆ ԳՈՐԾՈՒՆ

Բախվելով այն պրոբլեմին, թե անհրաժեշտ է արդյոք գերկոնսոլիդ դացված կավերում լանջերի կարունությունը որոշելիս հաշվի առնել պիկային կամ մնացորդային դիմադրությունը, նախագծողը կանգնում է ավելի կարեռ հարցի առաջ, որի հետ նա պետք է գործ ունենա: Այս գրությունը պատկերավորելու համար ես նկ. 8-ի վրա հավաքեցի լրիվ տիպիկ գերկոնսիդացված կավերի չորս փորձարկման արդյունքները, որոնց ինքնարտցիոն հատկությունները ի մի են բերված № 1 աղյուսակում:

Ա Գ Հ Ո Վ Ո Ւ Թ Ե

Կավերի ինդեքսացիոն նատկուրյունները՝ պատկերված նկ.

8-ի վրա (միջին նշանակուրյուններ)

Կավերի անվանումը	W _L	W _P	Կավային ֆրակցիա
Սելսետ (Selset)	26	13	17
Ջարի (Jari)	70	27	47
Լոնդոնյան կավ (London Clay)	82	29	55
Ուոլտոնս Վուոդ (Walton's Wood)	53	28	69

Սելսետի գլաբարային կավը խտացված է եղել ստուցի շափակոր հաստության տակ, բայց այն ավազաշատ է և կավային ֆրակցիան կազմում է միայն 17%: Համապատասխանաբար պիկային դիմադրության համար կցման հատվածը մեծ չէ և այստեղ պիկային և մնացորդային սահման դիմադրությունների միջև եղած անկյունների անկումը կազմում է միայն 2%: Բայց նոյնիսկ այստեղ, լանջերի կայտնությունը վերլուծելիս, այս կավերում, ինչպես գտ կերեա ստորև, ապահովության գործակիցների տարբերությունը, հաշված բար պիկային և մնացորդային դիմադրությունների, կազմում է ավելի բան 30%:

Հիմալայի նախալեռների ջարիի կավը պատկանում է վերին-սիվալիկյան շերտին* և խտացված է եղել ամենաբիշը 600 մ հզորություն ունեցող նստվածքների կշռի տակ: Այս կավը փորձարկվել է պատվար նախագծելու կապակցությամբ, որը կազմում էր Արևմտյան Պակիստանում Մանգլա խոշոր նախագծի մի մասը: Նմուշներում չնն հայտնաբերվել հողմահարության նկատելի նշաններ, և, ինչպես կտեսնենք, պիկային կցման հատվածը բարձր է: Իրոք, կավը բավականին ամուր է շխախտված վիճակում: Չնայած դրան, մնացորդային դիմադրությունը ցույց շի տալիս կցման հատված, և սահման դիմադրության ան-

* Արվալիկյան սիստեմ՝ ավազարարերի, կոնգլոմերատաների, գրավելիտների և նեղանի կավային թերթարերի շերտախումբ է, որը լցում է Հիմալայների առաջատար կորությունը, ավելի բան 2000 մ հզորությամբ (Սան. խմբագրի):

հյունը հավասար է 18%: Էֆեկտիվ ճնշման 0,49 կգ/սմ² արժեքի դեպքում պիկային դիմադրությունը 3,6 անգամ բարձր է, բայ մնացորդայինը, որի պատճառով հարցի լուծման փաստացի նշանակությունը՝ թե որ դիմադրությունը պետք է հաշվի առնել, հաշվարկում, կարիք չունի հետագա ընդունման:

Էղբենային հասակի լոնգոնյան կավր խտացված է եղել նստվածքների կշռի տակ, որոնք հետազույց հեռացվել են էրոզիայի պատճառով և որոնց հաստությունը հասնում է 150 մ էսսերսի արելլան մասում և 300 մ՝ լոնցոնից դեպի արևմուտք գտնվող շրջաններում: Փորձարկման արդյունքները, որոնք պատկերված են նկ. 8-ում, վերաբերում են հողմահարված կավերի գոտուն, որոնք տիպիկ ատրածում ունեն մինչև 12 մ և ավելի խորությունները: Ստորև կարվեն մի բանի սողանքների նկարագրությունն այդ գոտում, այս սողանքների համար պաշարի գործակիցը, հաշված պիկային դիմադրության հիման վրա, ստացվեց մոտավորապես 2,7 անգամ ավելի, բան մնացորդային դիմադրությունը որոշվելու դեպքում:

Վերջապես նկ. 8-ում բերվում է Ուոլտանս Վուդ կալի տվյալները: Այստեղ անհրաժեշտ է նշել, որ պիկային պաշարի գործակիցը, հաշված այդ սողանքի իրական սահմանը մակերեսութիւն համար, ստացվում է մոտավորապես 3 անգամ բարձր, բան այն արդյունքը, որը ստացվում է մնացորդային դիմադրությունը կիրառելիս:

Այս պատճառով, այն հարցը, թե անհրաժեշտ է արդյոք հաշվի առնել պիկային կամ մնացորդային դիմադրությունները հաշվարկներում, պետք է հանվի, որպես զոտ ակազիմիական նշանակություն ունեցող հարց: Դասախոսության մնացած մասում հնարավորին չափ ես կրբաղմեմ այն սողանքների զրնությամբ, որոնք մատչելի են այժմ և որոնք կարող են օգնել որևէ չափով լուսարաներու այս պրոբլեմի:

Իմ կողմից առաջին հերթին կտրվեն սողանքների նկարագրությունները և այնուհետև կնիրկայացվեն սողանքի կայտնության վերլուծության արդյունքները: Արդյունքները պետք է արտահայտվեն միջին էֆեկտիվ լարումների ² և միջին շոշափող լարումների ³ միջոցով, որոնք տպաւմ են սահմանամակերեսի վրա: Այս երկու արժեքները 9-րդ նկարի վրա տալիս են մի կետ, որը ցույց է տրված հոծ սև շրջանակով և այդ կետը մնում է հաստատում «հերկարատեն» պայմաններին հասնելուց հետո, եթե նկատի շունենանք ծակուկենային ճնշման ճնշումը առժեքը հաշված է՝ նկատի առնելով ծակուկենային ճնշման լրիվ գնահատումը:

Երկրորդ հերթին ես կրերեմ պիկային մնացորդային դիմադրությունների լարուատոր որոշման արդյունքները: Պիկային և մնացորդային դիմադրությունները կարելի է անմիջականորեն հաշվել վկայակոչելով նկ. 9-ը, որոնք համապատասխանում են ⁴ միջին էֆեկտիվ ճնշմանը:

Այժմ, բանի որ այդ լուրբանչյուր դեպքում տնդի է ունեցել սողը, պաշարի գործակիցը պետք է հավասար լինի 1,0, և Տ կավի իրական միջին սահման դիմադրությունը սահմանակ պետք է հավասար լիներ միջին շոշափող լարմանը: Այսպիսով, համեմատելով Տ-ի արժեքը ⁵Տ₁ -ի և Տ₂ -ի հետ, մնուք անմիջապես կնկատենք՝ արդյոք պիկային է եղել սահմանային մասնակցած կավի դիմադրությունը, մնացորդային, թե մի այլ միջանկյալ նշանակության:

իսկապես, եթե առաջընթաց քայլայման բմբոնումը միշտ է ձևդրավորված կազմերի համար, ապա մենք կարող ենք սպասել, որ այդ կավերի միշին դիմադրությունը ժամանակի ընթացքում կփոքրանա: Սողանքը առաջանում է այն ժամանակ, երբ միշին դիմադրությունը հասնում է միշին շոշափող լարման արժեքին, որը, ինչպես վերը նշվեց, ազդում է անընդհատ կերպով այն ժամանակից, երբ առաջացել է լանջը:

Որպեսզի այս մեծության համար ունենանք հարմար քանակական արտահայտություն, մինչև որը նվազել է միշին դիմադրությունը, ես կմտցնեմ «մնացորդային գործոն» հասկացողությունը, որը որոշվում է հետեւյալ արտահայտությամբ.

$$R = \frac{s_i - \bar{s}}{s_i - s_r}$$

Կամ

$$\bar{s} = R \cdot s_r + (1 - R) \cdot s_i$$

Այսպիսով, ֆիզիկական իմաստով R -ը ներկայացնում է կամի մեջ սահման մակերեսի այն մասը, որի երկայնքով դիմադրությունը նվազել է մինչև մնացորդային նշանակություն:

Պարզ է, որ եթե տեղի չի ունենում պիկային դիմադրության նվազում և ամրող կավը ունի պիկային դիմադրություն, ապա $R = 0$: Ընդհակառակն է, որ միշին դիմադրությունը հասել է մինչև մնացորդային նշանակությանը, ապա $R = 1,0$: Նկ. 9-ում ցույց տրված կետի համար միշին դիմադրությունը նվազել է կեսից ավելի՝ երկու սահմանների միջակայրում և R -ը կազմում է մոտավորապես 0,6, այսինքն սահման մակերեսի մոտ 60% անցնում է կավերով, որոնց սահմանի դիմադրությունը մնացորդային է:

Սողանքների նկարագրության ուսումնասիրության նպատակն է որոշելու R -ի մեծությունը և հնարավորին շափ կապ հաստատելու կամի տեսակի հետ:

ՍՈՂԱՆՔՆԵՐԻ ՆԿԱՐԱԳՐՈՒԹՅՈՒՆԸ

Զեկֆիլլ*

1952-ին Զեկֆիլլ գյուղում, Շրողշիր, Սևերն գետի վրա, Այրոն-Բրիդջից հոսքի ուղղությամբ 2 կմ ներքեւ տեղի ունեցավ սողանք, որը բանկեց մի քանի տար և առաջցրեց երկաթզծի ու ավտոճանապարհի մեծ տեղաշարժ (Նկ. 10): Այս տեղանքում Սևերն գետը հոսում է Ս-աձև հովտով: Նրա էրողիոն գործունեությունը մեծ շափով, եթե ոչ ամրացությամբ բնիւթացել է զլամակոր ցամաքային սաղցապատման սաղցավահանի հահանջությունը: Էրողիան մինչև հիմա շարուկանվում է, և հովտի լանջերը ծածկված են տարբեր հասակի սողանքների մողախայով:

Հնարավոր է, որ նախորդ սողանքները, համենայն գեպս, որոշ շափով կարող էին անցնել գոյություն ունեցող սահման մակերեսով, բայց լանջը բիշե շատ կայուն է եղել երկար ժամանակ, մինչև 1950 թիվը, երբ առաջ եկավ անկայունության նախազգուշացնող նշանը՝ բատարի խղումը, որը սնում էր

* Զեկֆիլլի սողանքի նկարագրությունը նախկինում տպագրված է եղել (Խոկել և Տկեմլի, 1958), բայց ես վերցերս բննադատաբար վերանայեցի բոլոր նախնական տվյալները և եկամ մի այլ նկարագրության՝ որոշ տեսակեափից տարբեր, որոնք տրված էին 10 տարի սովոր:

գետի ափի կոտեղները: 1951-ի վերջին նկատվեցին հետագա շարժումները, իսկ 1952-ին վտանգավոր դարձավ ճանապարհը: Հաշորդ մեկ-երկու ամիսների ընթացքում սողանքն սկսեց սպառնալիորեն զարգանալ: Վեց առև լրիվ բանդվեցին, գաղատարր պետք է դարձվեր վերգետնյա, երկաթօդով շարժումը հարավոր էր միայն շնորհիվ գծի ամենօրյա հակողության, իսկ դետի երկայնքով անցնող երկրորդական ճանապարհը փակված էր երթևեկության համար: Այժմ յանցի գետի ներքեւ ամենամեծ շարժումը համար է 18 մ:

Դոկտոր Հենկելը և ևս ուսումնասիրել ենք այս սպանքը 1952 թ. աշնանը: Շարժումները, որոնք ամառվա ընթացքում դարձել էին մշտական նորից վերսկսելի էին և մենք հնարավորություն ունեինք շոր հորատանցքերում դիտելու ասհեցման մակերեսի ճիշտ խորությունը (նկ. 11):

Ենթաերր, որոնք ներկայացված են կոչտ կավերով և արդիիտներով և որոնք հաջորդվում են մերգելյան բրեկիտներով և ածխի նվազ շերտերով, մեղմ անկում են հարավ-արեկելյան ուղղությամբ, տարածվելով սողանքի լայնական կորդավածքին կուպիտ զուգահեռ: Սակայն սողանքը լրիվ սահմանափակված էր ճեղքափորված, հողմահարված կավերի զոտով, որոնք տարածված էին 6—7,5 մ խորության վրա^{**}: Սահման մակերեսն անցնում էր լանջին զուգահեռ (որը ուներ 10° թերություն) 5,4 մ միջին խորության վրա: Սողանքային զանգվածի երկարությունը, որը չափված է լանջի երկայնքով, լանջով հասնում էր 165 մ: 1952—53 թթ. ձևանը գրանտային ջրերի հորիզոնը մի քանի կետերում հասավ հողի մակերեսութին, չնայած միջին հաշվով այն գտնվում էր 0,6 մ խորության վրա:

Սահման մակերեսում գործող ուժերի վերլուծումը ցույց տվեց, որ $\zeta = 0,63$ կգ/սմ² և $\zeta = 0,20$ կգ/սմ²:

Սահման փորձարկումները զրենամի առկայությամբ 4,5 և 5,7 մ խորությունից վերցրած նմուշների համար, բայց ոչ անմիջականորեն սահման մակերեսին մոտ*** ցույց տվեցին պիկային դիմադրություն $C = 0,21$ կգ/սմ² և $\zeta = 25^{\circ}$ սպառամետրերը (նկ. 12): Երբ կատարվում էին այս փորձարկումները, մենք գետ շունեինք պարզ պատկերացում մնացորդային դիմադրության մեծության մասին: Բարերախտաբար, այնուամենայնիվ, շարունակեցինք դիտումները սահման տուփի ամրող ճանապարհի վրա և այդ արդյունքներով հնարավորություն ունեցանք տալ մնացորդային սահման դիմադրության անկյան մոտավոր գնահատականը: Ինչպես այդ երեսում է նկ. 12-ում, այդ գնահատումը ավել չ' = 19° արժեք: Իրիվ հնարավոր է, որ ավելի ճշգրիտ արժեքը կլինի 18°-ից ցածր:

13 նկարից երեսում է, որ պիկային և մնացորդային դիմադրությունները, որոնք համապատասխանում են 0,63 կգ/սմ² միջին էֆեկտիվ

* Այս նստվածքները իրենց մեջ պարունակում են վերին-ածխաբարային կոլորտի շերտեր:

** Հողմահարված կավը չնայած լրիվ կարծը էր և զետ պահպանվում էր գերկունությունացված կավի բնութագիրը, ամելի բիշ ամուր էր, բան պինդ, նման համարյա ժայռային ապարը հիշեցնող շնորհանական շերտերի: Մրանով է բացարկվում այն, որ սողանքը համեմատաբար խորը չեր, չնայած պետք էր որ միատարր կապակցված նյութում այն տարածվեր ավելի խորը:

*** Խնձօնս և շատ սողաներներում, գերկունությունացված կավերում մենք Զեկֆիդում գտանք փակիցած կավի զոտի, 5 մմ-ից ոչ ավելի հաստությամբ: Նմուշի սահման փորձարկումը, որը փորձած էր այդ զոտությունը, ցույց տվեց $\zeta = 0,07$ կգ/սմ² և $\zeta = 21^{\circ}$: Սահման մակերեսին անմիջական մոտ $\zeta = 1$ արժեքը փորձարկանորն որոշված չէ:

ճնշմանը է որոնք ազդում են սահեցման մակերեսում կազմում են 0,4 և 0,21 կգ/սմ²: Բայց, ինչպես վերը նշվեց, միջին շոշափող լարումները (իսկ այս տեղից և միջին սահքի դիմադրությունը) մակերեսի երկայնքով փլման ժամանակ հավասարվում են 0,20 կգ/սմ²:

Այս պատճառով պարզ է, որ սողանք առաջանալու մոմենտին կավի դիմադրությունը մոտիկ էր նրա մնացորդային նշանակությանը: Խսկապես, ընդունելով $\varphi_r = 19^\circ$, մենք զայխ են այն եղբակացության, որ մնացորդային գործոն $R = 1,12$: Իսկ եթե նկատի ունենանք $\varphi_r - \beta$ ապրոքսիմացնող էությունը, ես կասկածում եմ, որ $R - \beta$ մեծությունը բավկանին տարրերվեր 1,0-ից:

Եթե արդյունքներն արտահայտենք այլ ձանապահով, կիրառելով Զեկ-Փիլդի լանջի կայունության վերլուծության համար պիկային դիմադրությունը, կստանանք, որ պաշարի գործակցի մեծությունը 2,06 է (սխալը ավելի քան 100% է, քանի որ իրական պաշարի գործակիցը հավասար է 1,0-ի): Մյուս կողմից, նույնիսկ կիրառելով $\varphi_r = 19^\circ$ քիչ մշակված նշանակությունը, պաշարի գործակիցը՝ հաշված մնացորդային դիմադրության հիման վրա, տարրերվում է ճիշտ արդյունքից ընազմենը 11%-ով:

Կարելի է ավելացնել, որ $\tilde{\beta} = \tilde{\alpha}$ նշանակությունները, հաշված իրական սահեցման մակերեսների հիման վրա, համապատասխանում են սահքի դիմադրության 17° ($\tilde{\beta}' = 0$ գեպքում) միջին անկյանը: Այս թիվը, որը ես ստացա մոտավոր վերլուծությամբ, հաստատեց Մորգենստերնի կողմից, որը կիրառել էր հաշվարկի ավելի ճշգրիտ եղանակ:

Սելսեա

* Հյուսիսային Յորբիրում Միտլտոն-Բիսդեյլի մոտ Սելսեա պատվարի շինարարության համար առաջարկված տեղամասում մի վազուց այցելության ժամանակ գոկառը թիշոպը և ես գտանք մի հետաքրքիր սողանք, որը առաջացել էր նախքան այդ կուն գետի հովտի գլաբարային կավերից կաղմված լանջում: 1955—1960 թթ. ընթացքում, երբ աշխատանքներ էին տարվում պատվարի վրա, որը գտնվում էր գետի հոսքով գետի վեր ոչ մեծ հեռավորության վրա, օգտագործվել էին տարրեր հնարավորություններ՝ սողանքը հետազոտելու և կավի նմուշները փորձարկելու համար: Այդ արդյունքները հրատարակվել են (Skempton and Brown, 1961) և այստեղ հարկավոր է դրանց ավելացնել միայն այն բանի համար, որպեսզի սողանքի նկարագրությունը մտցվի տվյալ հետազոտության շրջանակը:

Հեղեղների ժամանակ գետը լվանում է հովտի լանջերը և այս ձանապարհով ավելի է ընդարձակում իր հունը (նկ. 14): Չնայած զրան, պրոցեսը շատ արագ շի ընթանում (ավելի շուտ ժամանակի պատմական, քան երկրաբանական մասշարով): Պետական ժառայության 1856-ի հանույթի բարտեզր ցույց է տալիս, որ այն ժամանակ գետը լանջի ստորոտի նկատմամբ գտնվում էր նույն դրությունում, ինչպես որ այժմ: Այդ պատճառով կասկածից վեր է, որ մենք գործ ունենք «երկարատեղ» պայմանների հետ:

Գլաբարային կավը բավկանին համասեն է, չունի ճեղքեր կամ անշատման ճեղքեր և շի հայտնաբերում հոգմահարման ոչ մի նշույլ, բացառությամբ սեղունային փոփոխման ոչ խոր գոտոց:

Սահեցման մակերեսի ճիշտ դրությունը չի որոշված, չնայած լանջի վերեի մասում պարզ երևում էին պոկման ճեղքեր, որի հետևանքով վերլուծվեցին մի

շաբթ հնարավոր սահմարի շրջանները: Մեր նպատակների համար բավականին միշտ են համարվում միշին էֆեկտիվ լարման՝ և միշին շոշափող լարման՝ 0,37 և 0,31 կգ/սմ² ախտիկ արժեքները:

Սահմարի եռառանցքը և կտրման փորձարկումները՝ կատարված զլարաբային կամքերի ուժ նմուշների համար, ափիկին արդյունքների ներդաշնակությունը, որոնք ցուց են տալիս որ պիկային դիմադրությունը կարող է արտահայտվել $c' = 0,09$ կգ/սմ² և $\gamma' = 32^\circ$ պարամետրերով: Փորձարկումները չեն հասցվել մինչև այս գիֆորմացիաները, որոնք մենք հետագա փորձի տեսանկյունից համարում ենք անհրաժեշտ՝ դիմադրությունը ճիշտ որոշելու համար: Բայց նույնիսկ և այս ձևով բավականին վստահ կարելի է գնահատել այդ պարամետրերը $c' = 0$ և $\gamma' = -30^\circ$ մեծություններով (նկ. 15):

Այս պատճառով $c' = 0,37$ կգ/սմ² միշին էֆեկտիվ լարման համապատասխանող պիկային դիմադրությունը կազմում է $s_1 = 0,32$ կգ/սմ², իսկ մնացորդային դիմադրությունը $s_r = 0,21$ կգ/սմ² (նկ. 16): Սակայն, միշին շոշափող լարումը, իսկ այսականից և միշին սահմարի դիմադրությունը, սողանքի ժամանակ կազմում էր 0,31 կգ/սմ²: Սա թիշ փոքր է պիկային դիմադրությունից (պիկային գործոնը $R = 0,08$):

Այսպիսով, եթե սողանքի վերլուծություն կատարվեր, օգտագործելով $c' = 0,09$ կգ/սմ² և $\gamma' = 32^\circ$, ապա հաշված պաշարի գործակիցը կլինեն ճշմարտացի նշանակությանը բավականին մոտիկ՝ հավասար 1-ի: Ընդհակառակը, $\sigma_r = 0$ և $\gamma_r = 30^\circ$ արժեքների կիրառության գեպքում պաշարի գործակցի հաշված մեծությունը հավասար է 0,69 և սխալը կազմում է մոտ 30%:

Ուշագրության է արժանի, որ պիկային դիմադրությունը երեկի լրիվ մորիթիզացված է եղել միաժամանակ սահման մակերեսի երկայնքով: Նույնիսկ այս ժխախտված և չճեղքավորված կավի մեջ կարելի կլիներ, հավանական է, հաշվարկել ու գտնել ավելի կարուկ արտահայտված ցուցումներ՝ առաջընթաց բայցքայման վերաբերյալ, բան այն, որը համապատասխանում է մնացորդային գործոնին, որը հավասար է ընդամենը 8%: Այնուամենայնիվ վիստն այն է, որ վերաբերյալ, ճիմնաված պիկային դիմադրության վրա, հանգեցնում է այրականիկ տեսակետից բավարար արդյունքների*:

Էլեղոնյան կավ

Գոյություն ունեն տվյալներ լոնգոնյան հողմահարված կավերի գոտում տուաչացած մի բանի սողանքների վերաբերյալ: Էլեղոնյան կավերի ամրող հատությամբ կարելի է նկատել ճեղքեր, անշատման ճեղքեր և սահման հաղվայուս հայելիներ: Բայց այս հատկություններն ավելի նկատելի են հողմահարված գոտում, որը տիպիկ է 9—12 մ խորության վրա (նկ. 17): Հողմահարման ակներեւ հատկանիշ է կավի դարչնազույն տեսքը, որը հակա-

* Նման եղբակացության կարելի է հանդել 1956 թ. Հոկտեմբերի 6-ին առաջ սցած էլողակնի մաս դանվագ խորք փորվածքում՝ 0 պոչից ոչ հաս սողանքի հետ սպասարկեց (Սևալյան, 1960): Այսահետ կավը ծավալին ծագում ունի, թայլ գերկոնասլիքացված է և ճեղքավորված, եթե $c' = 0,10$ կգ/սմ² և $\gamma' = 27^\circ$, $w = 29$, $w_1 = 35$, $w_r = 19$ և կավային ֆրակցիան 46%: Սելստում և լողակնեամ սողանքների նկարագրությունները կարող են մեկնարանվել որպես ցուցում այն բանի, որ այս տեղամասում սողքը սահմարի գեպքում ունի ոչ-մեծ ազդեցություն կալերի պիկային դիմադրության վրա:

դրվում է ոչ հողմանարված նյութի «երկնագույն» (իրականում երկնագույն-մոխրագույն) գույնին: Սակայն, հողմանարման ավելի զգայուն հատկությունը է մի քանի անջատման ձևերում այնպիսի միներալների նուրբ թաղանթների առկայությունը, ինչպիսիք են գյուտիտը և լիմոնիտը: Այս նյութերը փոփոխված են, հաճախ հայտնաբերվում են այնպիսի խորություններում, որոնք տեղադրոված են «դարչնագույն» կավի սահմանից ցած:

Բնական է, որ հողմանարված կավի պիկային դիմագրության պարամետրերը որոշ շափով փոփոխվում են տեղամասից տեղամաս, բայց որպես բնորոշարժեքներ կարող են ընդունվել* $c' = 0,16$ կգ/սմ² և $\varphi' = 20^\circ$ (նկ. 18): Ինչ վերաբերում է մնացորդային դիմագրությանը, ապա Սոյլ Մերանիքս կիմիտիդց Ուիլյամ Ուուտսոնը նմուշների վրա սահմանադրությանը, ապա Սոյլ Մերանիքս կիմիտիդց Ուիլյամ Ուուտսոնը նմուշների վրա սահմանադրությանը, ապա Սոյլ Մերանիքս կիմիտիդց Ուիլյամ Ուուտսոնը նմուշների վրա սահմանադրությանը, ապա Սոյլ Մերանիքս կիմիտիդց Ուիլյամ Ուուտսոնը նմուշների մնացորդային դիմագրությունը, օգտագործելով հետազարձ կտրման փորձարկումների տեխնիկան: Արդյունքները ցույց են տալիս, որ φ'_c կազմում է մոտավորապես 16° (նկ. 18):

Հետազարձ փորձարկումներից մեկի արդյունքները մեծ գեֆորմացիաների դեպքում ցույց է տրված նկ. 19-ում, իսկ սահմանադրությանը հայելին նմուշում փորձարկումից հետո ցույց է տրված նկ. 20 (ներդիր):

Բարակ կտրվածքի ուսումնասիրությունը միկրոսկոպի տակ, որը պատրաստված էր կավի նմուշից երլիքի կողմից, ցույց է տալիս ուժեղ կողմնորոշված մասնիկների շրջան, նման նրանց, որոնք դիմագրում էին Ուուտսոնս կավում մոտավորապես 10° և հաստությամբ:

Փափկացած կավերի գոտին, որը կոսիտ կերպով տարածվում է $2,5$ սմ լայնությամբ, սահմանադրության երկու կողմերում բնորոշ է լոնգոնյան կամի համար: Եթեք բնորոշ օրինակներ ցույց են տրված նկ. 21-ում: Ինչպես երեսմ է սահմանադրությանն անմիջականորեն մոտ խոնավությունը կազմում է մոտ 35% , մինչդեռ շրջապատող շիտիկացած կավինը 30% է:

Անդրագաղութակավածք այժմ լոնգոնյան կավերում սողանքների նկարագրմանը, սկզբում շոշափենք Քենդոլ Գրինում հենապատի փլումը, որը տեղի ունեցավ 1941 թ.**: Պատն ուներ բավականին երկարություն: Այն կառուցվել էր 1912-ին: 1929-ին տեղի ունեցավ նրա փլումը ամենաբարձր կտրվածքում, որը 1941-ի

* Եշքորդ Կոմմոնի մոտի խոր հորից (Ստեյնում) վերցրած մոնուեների վրա կատարած փորձերը ցույց տվեցին, որ c' և φ' նշանակությունները չողմանարված լոնգոնյան կավերի շամար բավականին բարձր են, բայց հողմանարված գոտու համար: Այդ փորձերը կատարվել են Խմակերիալ Կոլեցում և Ենիսեյան փորձական կայանի կողմից և Շատարակված են՝ գոկտ. Ա. Վ. Բիշոպի, Դ. Ա. Ռեբրի և Ա. Ն. Լենինի հոգվածում (Bishop et al., 1965): Վերը բերված և ուրիշ ճեղքագործած լոնգոնյան կավերի պիկային դիմագրության պարամետրերը որոշված են համեմատարար փոքր նմուշների վրա և հիմնականում վերաբերում են ձեռք շտագած նյութերին: Մեծ նմուշների վրա կատարած փորձերը ցույց են տալիս ավելի փոքր դիմագրություն՝ ճեղքերի առկայության հետևանքով: Սակայն մնացորդային դիմագրությունը պետք է անկախ լինի նմուշի շափերից:

** Քենդոլ Գրին փորվածքը կատարվել է 1835-ին Լոնդոն—Բիթմինհամ երկաթուղու համար: Լայնացում կատարվել է 1875 թ. և 1912 -ին, երբ կառուցվեց այժմ գոյություն ունեցող հենապատի: Քենդոլ կավականին է, որ 1875-ի փորվածքը ունենար որնէ չական ազդեցություն կավերի վրա, որոնք ենթարկվեցին 1941 թ. փլումը: Որպես շինարարական-հետազոտական կայանի աշխատակից, որին ճեղքագործում էր զոկտոր Կուլինգը, ինձ բախտ վիճակվեց կատարել փլումն հետազոտիչությանը:

սողանթից 75 մետրի վրա էր: Վերականգնումից հետո պատի ամբողջ երկայնք անդակալի վեցին դիտարկման կամքը: Պատահականորեն ստացվեց այնպես, որ այդ տոպոգրաֆիկական պրոֆիլներից մեզը գտնվում էր 1947 թվականի մարտում շարժումից մի քանի մետրի վրա: Այսպիսով, մեզ հաջողվեց ունենալու փլմանը նախորդող 12 տարիների տեղաշարժման անընդմեջ գրանցումը (նկ. 22): Գիտման մի քանի տարիների ընթացքում, երբ պատը գոյացվուն ուներ արգել 17 տարի, տեղափոխման արագությունը փորբ էր (մոտ 6 մմ տարում): Բայց արագությունն աստիճանաբար սկսեց ավելանալ, և, վերշապես, ընդհանուր տեղաշարժը հասավ 45 սմ-ի:

Գծվար կլիներ պատկերացնել զարգացող բայթայման ավելի լավ ազացույց: Գիտարկելով ժամանակ-տեղաշարժում կորագիծը նկ. 22-ում կարելի է տեսնել, որ կամքի միջին դիմագրությունը փորբանում է և մոտենում է զործող շոշափող լարմանը, որին համապատասխան տեղի են ունենում ավելի ու ավելի մեծ շարժումներ, այն շափով, որ շափով կամքի դիմագրությունը ընթափում է մնացորդային նշանակությանը:

Սահեցման մակերեսում աղղող ուժերի վերլուծությունը ցույց է տալիս, որ $\bar{z}' = 39$ կգ/սմ², որի պատճառով միջին պիկային և մնացորդային դիմագրությունները համապատասխանաբար հավասար են 0,298 կգ/սմ² և 0,112 կգ/սմ² (նկ. 23): Բայց սահեցման մակերեսի երկայնքով միջին շոշափող լարումը կազմում է 0,186 կգ/սմ²: Այս մեծությունը հանդիսանում է նաև սահրե դիմագրությունը փլման ժամանակ: Այսպիսով, անմիջականորեն հարավոր է հաշվել մնացորդային դորձոնք, քանի որ՝ $R = \frac{0,298 - 0,186}{0,298 - 0,112} = 0,61$:

Այսականից երեսում է, որ միջին դիմագրությունը 29 տարում ընկել է մոտավորապես 60%-ով՝ պիկային դիմագրությունից մինչև մնացորդայինը տանող ճանապարհին: Ուրիշ խոսքով, դիմագրությունը ընկել է մինչև մնացորդային նշանակությունը սահեցման մակերեսի երկայնքի 60% մասում, այնինչ պիկային նշանակությունը պահպանվել է մնացած 40%-ով:

Գիտարկենք այս պրոբլեմը այլ տեսակետից: Եթե ամբողջ սահեցման մակերեսի համար կիրառվեր պիկային դիմագրությունը, ապա հաշվարկած պաշարի գործակիցը կկազմեր 1,6: Այսինչ, եթե կիրառվեր մնացորդայինը դիմագրությունը, այդ մեծությունը հավասար կլիներ 0,6: Պաշարի գործակիցի իսկական նշանակությունը հավասար է 1,0 և սահրե դիմագրության պարամետրերը, որոնք պահպանվում են այն քանի համար, որպեսզի կայունության հաշվարկի ժամանակ տան այդ արդյունքը, կազմում են $C' = 0,061$ կգ/սմ² և $\bar{z}' = 17,5^\circ$ և որոնք համապատասխանում են $R = 0,61$:

Ծատ մոտիկ տվյալներ են ստացվել նորահոլտի* մոտ գտնվող փորվածքում և զանազան սողանքի նկարագրման ընթացքում (նկ. 24): Այսաեղ փորումը կատարվել էր 1936 թ., իսկ փլումը առաջացել էր 19 տարի հետո՝ 1955 թվակա-

* Այս դասախոսության մեջ ստորև նկարագրված նորահոլտի մոտ, ինչպես նաև Սաղբերի շիրում ու լանդույան կամքերում տարբեր բնական լանդերի հետազոտությունը բերված են գոկուր Հենկերի և իր կողմից, դաշտոր Ֆ. Ա. Գելորիի ձեռներից աշխատակցությամբ: Հրատարակված են նորահոլտի (Առեկել, 1957) և բնական լանդերի վերաբերյալ (Տկեմուն և Դելոր, 1960) հոդվածներ: Վերջին ամիսներին են վերաբերյալ այդ տվյալները և նոել Միջոնսի սղմությամբ կատարեցի կայունության նոր հաշվարկներ:

նին: Սողանքից անմիջապես հետո կատարվել է տեղամասի հետազոտություն: Հետազոտության մեջ մտնում էր պյեզոմետրերի տեղակայում, նմուշների փերցնում փորձարկման համար և սահեցման մակերեսի գգալի մասի հանույթը առուներում, որոնք ավելի ուշ փորված էին լանջի վրա որմնահեծավոր դրենաժի համար:

Երջագծի աղեղի մեթոդով կատարված հաշվարկը, որը մոտ է սուհեցման մակերեսին, ցույց է տալիս, որ $\bar{z}' = 0,37$ կգ/սմ²: Դրան համապատասխան պիկային և մնացորդային դիմագրությունները կազմում են համապատասխանարար $0,291$ կգ/սմ² և $0,105$ կգ/սմ²: Միջին շոշափող լարումը, այստեղից և սահրի միջին դիմագրությունը, որը աղդում է սահեցման մակերեսի երկայնքով փլման ժամանակ, կազմել է $0,186$ կգ/սմ²: Հետևաբար $R = 0,56$ և սահրի դիմագրության պարամետրերը, որոնք համապատասխանում են $1,0$ պաշարի գործակցին կլիներ՝ $\bar{c}' = 0,07$ կգ/սմ² և $\bar{z}' = 18^\circ$:

Երրորդ սողանքը լոնդոնյան հողմահարված կավերում, որը ես կդիտարկեմ, առաջացել է 1949 թ. փորվածքում, որը փորվել է Սադրերի Հիլի մոտ 1900-ին (նկ. 25): Այստեղ չի իրագործվել ոչ մի բարելավող միջոցառում, բացառությամբ սողանքի ստորոտի կտրման, այնտեղ, որտեղ այն շարժվում էր երկաթփծի վրա: Լանջի պրոֆիլը սողանքից հետո ցույց է տրված նկ. 25-ում կետագծերով: Երևում է, որ սահեցման մակերեսի երկայնքով տեղաշարժ մի քանի մետրով:

Այս սողանքի հետազոտման ժամանակ 1949 և 1956 թթ. միջև առաջացել էին ոչ մեծ ընդմիջովող շարժումներ: Այդ պատճառով լանջը գտնվում էր սահմանային հավասարակշռված վիճակում և ուժերի վերուժությունը կարող էր բերել մնացորդային դիմագրության զնահատմանը:

Տեղագրվել էին երեք պյեզոմետրեր: Նկ. 25-ում ցույց տված դրունային չրերի հորիզոնը ամենաբարձրն է, որը գրանցված է 20 ամսվա ընթացքում: Այս գրունտային չրերի հորիզոնի և գծագրում ցույց տված սահրի շրջանների համար գտնվել են $\bar{z}' = 0,317$ կգ/սմ² միջին էֆեկտիվ ճնշումը և համապատասխան շոշափող լարումը $\gamma = 0,083$ կգ/սմ²: Այսպիսով, եթե մենք ընդունենք $\bar{c}' = 0$, ապա կարող ենք անմիջապես հաշվել մնացորդային սահրի դիմագրության անկյունը, քանի որ այս դեպքում $\bar{t} \bar{g} \bar{z}' = \bar{\gamma} \bar{z}'$: Այստեղից մենք գտնում ենք $\bar{z}' = 15^\circ$: Այս արժեքը գտնվում է վերոհիշյալ փորձարկումների արդյունքների հետ ընդունելի համաձայնության մեջ*:

Կարելի է նաև ուսումնասիրել այն պայմանները, որոնք անմիջականորեն նախորդում են սողանքին, ընդունելով, որ 1956—1957 թվականներին դիտարկված պյեզոմետրական մակարդակները բավականին բնորոշ են 1949 թ. մա-

* Գոյություն ունեցող բավականին մոտիկ կորրելացիան \bar{z}' -ի լարուառը և զաշտային արձեների միջև, ինչպես ու գտնվեց Սադրերի Հիլում և Հենկֆիդում (ինչպես նաև այն հնագոտություններում, որոնք այժմ տարգում են Ռուլանս Վուլում), ցույց է տալիս, որ կափի մնացորդային լարումը բառ էսության անկախ է քանդման ժամանակից մեջ շարաթվա միջոցում, իսկ լարուառը փորձարկումներում՝ մինչև մի քանի տարգա շրջանում: Անհրաժեշտ է նշել, որ մի քանի սողանքներում շարժման կինետիկ էներգիան, նախնական փլուզումից հետո, կարող էր բավական լինել, որպեսզի առաջացներ «առաջանցում» (overriding): Այսպիսի դեպքերում սահու զանգվածները հանդարձնվում են այնպիսի դիմագրությունների զերքում, որոնք ավելի ցածր են իրական մնացորդային նշանակությունից:

կարգակի համար: Այդ վերլուծության արդյունքները կարելի է ի մի բերել նշելով, որ $c' = 0,03$ կգ/սմ² և $\bar{z}' = 17^\circ$ $R = 0,80$ դեպքում:

Այս թվերը պետք է դիտվեն որպես մոտավոր, քանի որ նրանք որոշ չափով կախված են պյիզոմետրական մակարդակի մասին եղած բավականին անորոշ պատկերացումից: Չնայած դրան, եթե քննները այս տվյալները թենգալ Գրինի և Նարտշուտի արդյունքների կապակցությամբ, ապա նրանք ցույց են տալիս ժամանակի բնթացրում դիմադրության փոքրացման անսխալ հակում (ինչպես և պետք էր հուսալ) այն նյութի նկատմամբ, որը ենթարկվել էր առաջընթաց բայրայիման*:

Բնական պայմաններում ժամանակի մասշտաբը այնքան մեծ է, որ ճեղքավոր կավի մեջ կարելի է սպասել դիմադրության անկում՝ մինչև մնացորդային արժեքը: Բնական լանջերի դիտումները լոնգոնյան կավերում, երբ գրուտային շրերի հայելին գետնի մակերեսին մ.ա. է, ցույց են տվել, որ կայուն և անկայուն պայմանների բաժանումը մոտավորապես համապատասխանում է 10° թերությանը (նկ. 26): Հաշված էին \bar{z}' և \bar{z} արժեքները սահմացման մակերեսների այն գեաքերի համար, որոնք անկազմական են 1,5 և 2,4 մ խորության վրա, և գրուտային շրերի հորիզոնի այնպիսի գեաքերի համար, երբ այն գանվում էր 15 և 75 մ խորության վրա**:

Արդյունքները ցուցադրված են նկ. 26-ում, որտեղից կարելի է տեսնել, որ սահմանային 10° անկյունը գուգորդվում է մնացորդային սահքի դիմադրության անկյան հետ, որը մոտավորապես հավասար է 16° :

Վերոհիշյալ տվյալները լոնգոնյան կավի վերաբերյալ ի մի է բերված նկ. 27-ում ու գրանից բխող հետեանքներն այնքան համաձայնեցված են, որ այն հիմքը է տալիս ինձ մտածելու, որ մենք աշխատում ենք պրոբլեմի լուծման ճիշտ ուղիով:

Ա. Մ Փ Ո Փ Ո Ւ Մ

Սույն դասախոսությունում քննարկված տարրեր սովորական համար մնացորդային գործոնները ի մի են բերված № 2 աղյուսակում: Գլաբարային կավը, որը չունի ճեղքեր և անշատման ճեղքեր, իր պիկային դիմադրությունը զարգացնում է սահման մակերեսի համարյա ողջ կրկարությամբ: Լոնգոնյան հողմանարկած կավը շատ ճեղքավորված է նրան հատուկ են անշատման ճեղքեր: Նման նյութում դիտվում է սահքի դիմադրության պարամետրերի որոշ նվազում պիկային նշանակության համեմատ, որը տեղի է ունենում գեռիս հողմանարման բնթացրում: Նորահոլտում և թենգալ Գրինում կատարած ուսումնասիրությունները պարզությունը ցույց տվեցին, որ 20—30 տարի անց տեղի ունե-

* Ինչպես նախօրոր նշվից, ճեղքերի առկայությունը ցույց է տալիս, որ միջին դիմադրությունը անկայի ցածր է, քան պիկայինը, եթե նույնիսկ տեղի չունի առաջընթաց բայքայիման: Այս պատճառով լրիվ նարագոր է, որ լոնգոնյան կավերը բացումից անմիջապես հետո կարող էին ունենալ $R = -2$ մոտավորապես $R = -0,25$ արժեք ճեղքերի և անշատման ճեղքերի առկայության պատճառով: Առաջընթաց բայքայիմար ժամանակի բնթացրում ըերբու է անկայի բարձր արժեքների, ինչպես այլ ժամանակի էր թենգալ Գրինում, նպահպատճ, Սարգերի Հիմում և ընական լանցերում:

** Կայունության վերլուծության եղանակին և գաշտային դիտումներին վերաբերող մակրամասնությունները կարելի են գտնել Ակնապատճի և Գելորի (Տկեմոտու և Դելորի, 1960) հոդվածում: Այս հոգվածում ընդունված է կր. որ գրուտային շրերի հորիզոնը համբնվում է գետնի մակերեսումից հետո: Ես հասկանում եմ հիմա, որ զա բավականին մեծ պարզեցամ էր:

ցած սողանքներում կավի միջին դիմագրությունը՝ պիկայինից մնացորդայինին անցնելիս նվազել է մոտ 60%: Սագրերի Հիլում, որտեղ սողանքը տեղի է ունեցել համարյա 50 տարի անց, այդ դորժուն աճել է մինչև 80%, այն դեպքում, եթե լոնդանյան կավերի բնական լանջերում դիմագրությունը մոտ է մնացորդայինին: Հողմանարված-ձեղքավորված կավի բնական լանջերում Ձեկփիլում տեղի ունեցած սողանքը ցույց տվեց, որ կավի դիմագրությունը մոտավորապես հավասար է մնացորդայինի արժեքին:

Աղյուսակ 2

Բարձերներ

Կավի գիճակը	Մարատիգրաֆիա	Տեղադրությունը	Բնական լանջ N կամ բանդում C (ժամանակը մինչհ փլուզումը)	Մնացոր դային գործոն R
Զկան ձեղքեր և անչառման ձեղքեր Հողմանարված	Գլարաբարին կավ	Մելուստ	N	0.08
Ձեղքեր և անչառ- ման ձեղքեր	Լոնդոնյան կավ	Նորմանուա թենգալ Գրին Մագրերի Հիլ	C (19 տարի) C (29 տարի) C (49 տարի)	0.56 0.61 0.80
Հողմանարված		Մագրերի Հիլ Լանջեր 10°	C (սողանքից հետո) N	1.04 0.92—1.06
	Կոլպորտյան շերտեր	Ձեկփիլ	N	1.12

Շարժումը գոյություն ունեցող մակերեսներով կավերի ցանկացած տիպում Մոտ 1.0

Այս կարծես ցույց է տալիս, որ իսկապես ձեղքերի և անչառման ձեղքերի առկայությունը նպաստում է կավային լանջերի առաջընթաց խախտմանը և վերջում այդ պրոցեսը կարող է շարունակվել մինչ հասնի մնացորդային դիմագրությանը: Բայց ձեղքավորված և անչառման ձեղքերը շունչեցող կավերում պիկային նշանակության համեմատ դիմագրության նվազումը փոքր է, նույնիսկ անհշան փոքր: Այս վերջին կարգի մեջ կարող են ընդգրկվել նաև խտացված կավային զրուտները, որոնք կիրառվում են թմբեր պատրաստելիս և հողային պատվարներում*:

Վերջապես, եթե փլուզումն արդեն տեղի է ունեցել, ապա գոյություն ունեցող սահնեցման մակերեսով հետագա ամեն մի շարժում կկառավարվի արդեն մնացորդային դիմագրությամբ՝ անկախ շարժման մեջ ընդգրկված կավի տնասելի: Հավանաբար այս է սահմանական դիմագրության անկյունների շփազանց ցածր մեծությունների պատճառը (ընդունված պիկային արժեքների համեմատ)* ստացված այնպիսի սողանքների համար, ինչպես օրինակ, Բիրպոուի սողանքը կավային թերթաբարերում հարավային Սոսկաշևանից (Ringheim, 1964): Սադրերի Հիլի լանջի անալիզը (սկզբնական սահումից հետո) հաստատում է նման մեկնաբանությունը: Նույնպես հնարավոր է, որ տեկտոնիկ շարժումների հետեւ-

* Սուրբ պարագրաֆում ձեւակերպված այս երեք գրայթները առաջին անգամ սուրբ են բաշվել գրուտների մեխանիկայի գծով Միջազգային կոնքբեսում (Skempton, 1961):

վանքով առաջացած սահմա գոտում դիմադրությունը պետք է ունենա մնացորդային արժեք:

Սողանքների նկարագրությունը, որոնց հիման վրա կատարվել են այս եղանակացությունները, գենես սակավաթիվ են, բայց, բայց երկույթին, նրանք բարձրար են ամրապնդելու այն վատահությունը, որ կա ավելի տրամարանական փիմավորում, բայց այն, որ մինչև այժմ օգտագործվել է՝ կավացին լանշերի երկարաժամկետ կայունության անալիզի համար:

ДЛИТЕЛЬНАЯ УСТОЙЧИВОСТЬ ГЛИНИСТЫХ СКЛОНОВ*

Профессор А. У. СКЕМПТОН**

От редактора. Четвертая Ренкиновская лекция на тему «Длительная устойчивость глинистых склонов», прочитанная проф. А. У. Скемптоном 5 февраля 1964 г. перед Британским геотехническим обществом, имела большое значение для понимания процессов, происходящих в склонах, сложенных переконсолидированными глинами. Эта лекция была опубликована в журнале *Céotechnique*, 1964, т. 14, № 2, стр. 77—101. Настоящий ее перевод на русский и армянский языки публикуется с любезного разрешения автора.

ВВЕДЕНИЕ

При устройстве выемки в глине поровое давление в любой точке зависит частично от положения горизонта грунтовых вод, а также в значительной степени от ответной реакции глины на изменение напряжений, произошедшее в результате экскавации. Однако с течением времени поровое давление в глине постепенно приспосабливается, пока в конце концов не устанавливается гидростатическое равновесие с грунтовой водой. Эта стадия известна как «длительные» условия в противоположность «кратковременным» условиям или условиям «окончания строительства».

Все природные склоны существуют в длительных условиях, тогда как в выемках эта стадия достигается лишь через несколько месяцев или лет после экскавации; требующееся на это время определяется главным образом водопроницаемостью глины.

Займемся только длительными условиями. Таким образом, во всех рассматриваемых случаях, будь то выемка или природный склон, поровое давление и в любой точке потенциальной или действительной поверхности скольжения может быть определено по сетке течения грунто-

* Перевод с английского проф. Г. И. Тер-Степаняна.

** Профессор Гражданского строительства Империал колледж Лондонского Университета, член Королевского общества.

ных вод (рис. 1*). Пользуясь статическими соображениями, возможно определить с приемлемой точностью давление σ и касательное напряжение τ в любой точке поверхности скольжения.

Перейдем теперь к сопротивлению, оказываемому глиной скольжению по этой поверхности. Давно известно, что сопротивление сдвига глины может быть представлено уравнением Кулона-Терцаги

$$s = \bar{c}' + (\sigma - u) \operatorname{tg} \bar{\varphi}',$$

где \bar{c}' — «цепление» и $\bar{\varphi}'$ — «угол сопротивления сдвига»; оба параметра выражены через эффективное напряжение $\sigma' = \sigma - u$, действующее нормально к поверхности скольжения.

В устойчивом склоне только часть имеющегося в наличии общего сопротивления сдвига по поверхности скольжения мобилизуется для уравновешивания общей сдвигающей силы. Таким образом, мы можем вообще написать

$$\Sigma \tau = \Sigma \frac{\bar{c}'}{F} + \Sigma (\sigma - u) \frac{\operatorname{tg} \bar{\varphi}'}{F},$$

где F определяется как «коэффициент запаса». Величина F для устойчивых склонов выше 1,0. Но когда происходит обрушение, сумма всех напряжений сдвига по поверхности скольжения точно равняется имеющейся в наличии сопротивлению сдвига, а $F = 1,0$.

Имеется несколько вполне надежных методов** вычисления F для данного склона, если только известно поровое давление и были получены величины c' и φ' . Является также сравнительно простым делом проведение испытаний сопротивления сдвига образцов ненарушенной глины. Но, как показывает анализ действительных оползней в глинах, значения сопротивления сдвига, полученные в результате обычных испытаний, не имеют никакого отношения к величинам, которые действовали в глине во время обрушения.

Этот вывод, который в настоящее время установлен без малейшего сомнения, имеет, очевидно, огромное практическое значение. Поэтому мы должны постараться понять, почему в некоторых случаях имеется широкое различие между результатами обычных лабораторных испытаний и действительными полевыми значениями сопротивления сдвига. Для таких случаев мы должны также постараться разработать видоизмененные лабораторные методы, которые смогут дать достаточно надежные результаты для их уверенного применения в инженерном проектировании. Эти две задачи представляют собой содержание настоящей лекции.

* Рисунки см. стр. 133—146.

** В рассмотренных в настоящей лекции случаях, когда сечение поверхности скольжения приближалось к дуге круга, применялся хорошо известный метод анализа, предложенный д-ром А. У. Бишопом (Bishop, 1954).

ПИКОВОЕ И ОСТАТОЧНОЕ СОПРОТИВЛЕНИЕ

Ниже будут делаться частые ссылки на «переконсолидированные» глины, и было бы хорошо уяснить значение этого термина. На рис. 2 точка *a* изображает глину немедленно после осадконакопления, например на дне эстуария. Дальнейшее отложение глины вызывает увеличение эффективного напряжения и уменьшение влажности. В стадии, представленной точкой *b*, глина является «нормально-консолидированной» в том смысле, что она не подвергалась более высоким давлениям, чем действующее в настоящее время давление вышележащих пластов. Сопротивление сдвигу нормально-консолидированной глины пропорционально эффективному напряжению; поэтому график, выражющий соотношение между сопротивлением и давлением, представляет собой прямую, проходящую через начало координат.

Многие послеледниковые глины являются нормально-консолидированными; они были отложены во время эвстатического поднятия уровня моря, имевшего место в позднем плейстоцене* в результате таяния ледникового щита. Однако подавляющее большинство глин значительно старше, и в течение своей геологической истории они подверглись весьма значительным давлениям, соответствующим весу толщ покрывающих пород мощностью в несколько сот и даже тысяч метров осадков, которые впоследствии были удалены эрозией. Эти глины находятся в переконсолидированном состоянии, представленном на рис. 2 точкой *d*.

Удаление нагрузки сопровождалось увеличением влажности, однако это увеличение значительно меньше уменьшения влажности во время консолидации. Хотя глина в точке *d* находится под тем же эффективным давлением, что и глина в точке *b*, влажность переконсолидированной глины значительно меньше. Поэтому частицы находятся в состоянии более плотной укладки, и не удивительно, что сопротивление сдвигу выше, чем для нормально-консолидированной глины.

Примерами переконсолидированных глин являются лейасские, голтские и лондонские глины. Они, как и многие другие глины этой категории, трещиноваты (*fissured*) и обладают трещинами отдельности (*jointed*). Они изредка содержат также зеркала скольжения, вероятно в результате тектонических движений или неравномерного расширения во время эрозионного цикла. Валунные глины также переконсолидированы, скорее под весом льда, чем под весом осадков, но часто обнаруживают лишь очень небольшие нарушения; будучи нетронутыми, они представляют собой нетрещиноватый материал, без зеркал скольжения. Многие нормально-консолидированные глины также свободны от таких дефектов, хотя в глинах этого типа иногда и наблюдаются трещины.

В настоящей лекции я буду касаться главным образом переконсолидированных глин, так как с ними связаны более крупные проблемы,

* Верхний отдел четвертичной системы (прим. редактора).

чем с нормально-консолидированными глинами, и они более распространены*.

Рассмотрим поэтому характеристики сопротивления сдвигу переконсолидированной глины (рис. 3). На этом чертеже показаны типичные результаты, полученные при проведении медленных дренированных испытаний в срезном приборе**, в котором глина подверглась смещениям, измеряемым несколькими сантиметрами.

По мере деформирования глины создается увеличивающееся сопротивление. Однако при данном значении эффективного давления имеется определенный предел сопротивления, которое может оказаться глина; оно представляет собой «пиковое сопротивление» s_f . В обычной практике опыт прекращается вскоре после того, как пиковое сопротивление оказывается ясно установленным и величина s_f попросту обозначается как «сопротивление сдвигу» глины (при данном эффективном давлении), без дальнейших ограничений, кроме, разумеется, указания о том, что испытание было проведено в условиях дренирования, т. е. без развития порового давления.

Если же испытание продолжается, то мы находим, что по мере увеличения перемещения сопротивление или прочность глины уменьшается. Но этот процесс, который может быть назван «расслабление при деформировании», не является беспредельным, так как в пределе достигается известное «остаточное сопротивление» s_r , которое сохраняется, если даже глина будет подвергнута очень большим перемещениям***. В сравнительно небольшом числе глин, исследованных до настоящего времени с этой точки зрения, сопротивление падает до остаточного значения вслед за тем, как после пикового сопротивления глина перемещается на величину от 2 до 5 см. Однако имеются полевые данные, что сопротивление не делается меньшим, чем лабораторное значение (или только слегка меньше) даже при смещениях во много метров.

* Высокочувствительные переконсолидированные глины, как, например глины Леда в восточной Канаде, представляют собой особый класс; их свойства могут заметно отличаться от свойств типичных переконсолидированных глин, которые здесь рассматриваются.

** Точнее, в «ящичном приборе на сдвиг»; термин «срёзной прибор» получил более широкое распространение в русской литературе (прим. редактора).

*** Первое определение остаточного сопротивления ненарушенной глины (из канала Везер-Эльба) было опубликовано в 1937 г. д-ром Б. Тидеманном (Tiedemann, 1937). Он провел дренированные испытания при кольцевом приборе на сдвиг. Испытания того же типа были проведены д-ром М. Ю. Хворслевым на двух видах глин (венский песчанник и глина из Малого Бельта), консолидированных от кашеобразного состояния (Hvorslev, 1937). Проф. Р. Хефели ввел термин «остаточный» в 1938 г. на немецком языке и в 1950 г. на английском (Haefeli, 1938, 1950). Его заслугой являются настойчивые указания на практическую важность остаточного сопротивления, сделанные в то время, когда едва ли кто-либо интересовался этим аспектом свойств сдвига глины. Дж. Мак Нейл Тарнбулл сообщил об испытаниях, ведущих к приближенному определению остаточного сопротивления некоторых уплотненных грунтов (Turnbull, 1952).

Теперь можно привести второй опыт с той же глиной в срезном приборе, но при другом эффективном давлении. Результаты будут такого же типа, как и описанные выше. Если допустить, что проведено три подобных опыта, то величины пиковых и остаточных сопротивлений, будучи показаны на графике как функция эффективных давлений, покажут соотношение, приблизительно соответствующее закону Кулона-Тернаги. Тогда пиковое сопротивление может быть выражено уравнением

$$s_p = c' + \sigma' \operatorname{tg} \varphi'$$

а остаточное сопротивление уравнением

$$s_r = c_r' + \sigma' \operatorname{tg} \varphi_r'$$

Полученные результаты испытаний почти неизменно показывают, что c_r' весьма малая величина, возможно незначительно отличающаяся от нуля. Поэтому в дальнейшей части лекции я принимаю допущение, что мы можем записать остаточное сопротивление так:

$$s_r = \sigma' \operatorname{tg} \varphi_r'$$

Другими словами, по мере движения от пикового сопротивления к остаточному отрезок сцепления c' полностью исчезает. В течение того же процесса уменьшается и угол сопротивления сдвигу; в некоторых глинах лишь на 1 или 2°, а в других даже на 10°.

Заслуживает упоминания, что в процессе сдвига переконсолидированные глины стремятся расширяться, в особенности после прохождения пика. Поэтому часть падения сопротивления от пикового значения вызывается увеличением влажности. Однако с этим по своей важности сравнимо развитие тонких лент или областей, в которых чешуйчатые глинистые частицы ориентируются в направлении сдвига*. Сопротивление сдвигу массы таких частиц при беспорядочной ориентации должно быть выше, чем в случае, когда частицы лежат параллельно друг другу. И так как вероятно, что образование областей ориентации начинается при сравнительно малых деформациях (Гольдштейн и др., 1961), имеются решающие доказательства в пользу наличия непрерывных лент почти совершенно ориентированных частиц глины, подвергнутых большим деформациям; эти доказательства были получены как в лаборатории (Astbury, 1960), так и в поле (как это будет ниже описано в настоящей лекции).

Независимо от физического объяснения падения сопротивления после прохождения пика, существование этого уменьшения сопротивления (в особенности в переконсолидированных глинах) должно быть принято как вполне установленный факт. Поэтому, если по каким-либо причинам глина вынуждена пройти пик в какой-

* Ориентация чешуйчатых глинистых частиц при сдвиге была установлена проф. Г. И. Тер-Степаняном в середине тридцатых годов; доклад о влиянии чешуйчатости глинистых частиц на процесс сдвига в грунтах был представлен I Международному конгрессу по механике грунтов и фундамостроению, состоявшемуся в 1936 г. в Кембридже, шт. Массачусетс, США (прим. редактора).

либо определенной точке внутри ее массы, сопротивление в этой точке уменьшается. В результате этого в какой-либо другой точке глины прилагаются дополнительные напряжения, приводящие к тому, что пик оказывается проиленным также и в этой точке. Таким путем начинается развитие прогрессирующего разрушения и в пределе, по всей длине поверхности скольжения, сопротивление падает до остаточного значения. Очевидно, что в частном случае оползание может произойти и прежде, чем во всей глине будет достигнуто остаточное сопротивление; однако, как только начинается прогрессирующее разрушение, среднее сопротивление глины неумолимо уменьшается в направлении к предельному остаточному значению.

В настоящее время хорошо известно, что сопротивление твердых материалов сильно уменьшается вследствие присутствия микроскопических трещин, отверстий и других дефектов. Проще говоря, их действие заключается в концентрации напряжений; они являются причиной того, что разрушение происходит при средних напряжениях, значительно меньших, чем идеальное сопротивление материала*. И казалось бы, нет оснований полагать, что микроскопические трещины, трещины отдельности и зеркала скольжения, присутствующие во многих глинах, также не вызывают концентрации напряжений грубо аналогичным образом, совершенно независимо от того факта, что они действуют как площади ослабления,—так как маловероятно, что сопротивление по трещине или трещине отдельности может заметно превышать остаточное значение.

Отсюда логично ожидать, что трещиноватая или обладающая трещинами отдельности глина не способна развить свое пиковое сопротивление по полной длине поверхности скольжения. Трещины и трещины отдельности не только уменьшают среднее сопротивление глинистой массы, но они могут вызвать и устранение пика в результате местных перенапряжений; вслед за этим происходит прогрессирующее уменьшение сопротивления.

Трещины и другие физические нарушения непрерывности не являются единственным объяснением оползней в глинах, происходящих при сопротивлениях, значительно более низких, чем условное пиковое значение. Пиковое сопротивление, определяемое лабораторными опытами, длящимися максимум несколько недель, может оказаться заметно более высоким, чем то сопротивление, которое может развиваться в некоторых глинах, когда напряжения действуют в течение лет, десятилетий или столетий. Иначе говоря, должно быть учтено влияние ползучести при сдвиге; однако до настоящего времени имеется лишь весьма небольшая количественная информация для оценки этого влияния на величину пикового сопротивления.

* Прекрасный обзор физических процессов, связанных с разрушением твердых тел, можно найти в Бакернанской лекции проф. А. Х. Коттрелла, прочитанной в 1963 г. (Cottrell, 1963).

Сезонные изменения влажности и температуры могут также уменьшить сопротивление глины, но их влияние ограничивается довольно небольшими глубинами. Поэтому хотя они и имеют большое значение в геоморфологических процессах, маловероятно, чтобы сезонные изменения имели значение для относительно глубоко расположенных обрушений при сдвиге, рассматриваемых в настоящей лекции, за исключением того очевидного факта, что оползание будет приурочиваться к тем моментам, когда уровень грунтовых вод исключительно высок. В эти периоды поровое давление также является исключительно высоким и соответственно эффективное давление (а отсюда и сопротивление)—низким. Тем не менее, мы имеем дело именно с параметрами сопротивления сдвига глины, но не с влиянием таких явлений, как поровое давление, землетрясения, устранение бокового давления и т. д.

После таких обобщений ознакомимся с некоторыми действительными испытаниями. На рис. 4 показаны результаты испытаний, проведенных в лаборатории Соил Меканикс Лимитед (Soil Mechanics Ltd.), а также в Империал Колледже (Imperial College) над образцами, взятыми из глины, вовлеченной в оползание в Уолтонс Вуд (Walton's Wood) в Стаффордшире. Глина образует выветрелую зону каменноугольных аргиллитов мощностью до 12 м и покрывает собой склоны долины, эродированной во время стадии отступания последнего континентального оледенения в этом районе.

На графике показана типичная кривая напряжение-перемещение для ненарушенного образца глины. В этом конкретном испытании поддерживалось постоянное эффективное давление $1,56 \text{ кг}/\text{см}^2$. Пиковое сопротивление оказалось равным $0,76 \text{ кг}/\text{см}^2$, остаточное сопротивление— $0,36 \text{ кг}/\text{см}^2$. Эти сопротивления показаны на верхнем чертеже соответственно светлым кружком и крестиком. Подобные испытания на других образцах при различных эффективных давлениях показали, что пиковое сопротивление может быть представлено параметрами $c' = 0,16 \text{ кг}/\text{см}^2$ и $\phi' = 21^\circ$, тогда как остаточное сопротивление падает до линии, проходящей через начало координат ($c'_r = 0$) и имеющей наклон $\phi'_r = 13^\circ$.

Эти опыты были проведены в комплекте срезных приборов Казагранде над квадратными в плане образцами со стороной 6,0 см и толщиной 2,5 см. После завершения первого прохода с перемещением около 8 мм коробка срезного прибора подвигалась назад и затем глина вновь подвергалась срезу; этот процесс повторялся до тех пор, пока сопротивление глины не падало до постоянного (остаточного) значения. Движения в обоих направлениях были медленными, так что предположительно в глине не развивалось избыточного порового давления, и весь опыт занимал 6 дней*.

* Проф. Г. Боровичка описал другой тип возвратного испытания на сдвиг, проводимого довольно быстро, в котором вертикальная нагрузка изменяется таким образом, чтобы поддерживать постоянный объем образца глины во время сдвига (Borowicka, 1963).

Следует предполагать, что эта техника не является совершенной. После каждого возврата часто наблюдается небольшой пик, как это показано точечным пунктиром на рис. 4, и имеются некоторые опасения, что на поверхности скольжения может возникнуть разжижение. В идеале перемещение должно производиться непрерывно в одном направлении и в качестве приближения к этому идеалу д-р Алан Бишоп конструирует в настоящее время сдвиговую коробку длиной 17,8 см. Мы также надеемся построить большой кольцевой прибор на сдвиг. Пока что возвратная техника, кажется, дает простой и "приемлемый метод определения остаточного сопротивления ненарушенных образцов глины, применяя оборудование, уже имеющееся в каждой лаборатории".

В Уолтонс Вуде получено также несколько проб, которые включали в себя действительные плоскости скольжения. Из этих проб были изготовлены образцы для трехосных испытаний таким образом, чтобы плоскости скольжения были наклонены под углом 50° к горизонту, а сами образцы были подвергнуты медленными дренированным испытаниям. Как и ожидалось, разрушение произошло по предварительно существовавшим поверхностям скольжения; результаты испытаний показаны на рис. 4 сплошными черными кружками**. Можно видеть, что сопротивление, развивающееся на плоскости скольжения, очень близко соответствует тому остаточному сопротивлению, которое получается, если подвергать большим перемещениям образец первоначально ненарушенной, несрезанной глины.

Более того, в то время как сопротивление этих последних образцов падало до остаточного значения, развивались исключительно хорошо выраженные зеркала скольжения (рис. 5, вкладка).

Применением техники пропитывания смолами и воском Ирли и У. Ф. Неннингера (из Сайл Меканикс Лимитед) удалось изготовить несколько тонких срезов глин Уолтонс Вуд, которые показали вид природной плоскости скольжения. В действительности было видно, что она состоит

* Возможно, что остаточное сопротивление может быть также определено путем прорезывания в глине плоскости с помощью тонкой проволочной пилы, и испытания в трехосном приборе таким образом, чтобы эта плоскость была наклонена к горизонту приблизительно под углом $(45 + \frac{1}{2})^\circ$. Предварительные испытания при применении весьма малых скоростей деформации показывают, что эта техника является обещающей и заслуживает внимательного изучения.

** Если вертикальное и горизонтальное эффективные напряжения, действующие в трехосных образцах, при разрушении составляют σ'_1 и σ'_3 и если α является углом наклона плоскости скольжения к горизонту, то

$$s_r = \frac{1}{2} (\sigma'_1 - \sigma'_3) \cos(2\alpha - 90^\circ),$$

$$\sigma' = \frac{1}{2} (\sigma'_1 + \sigma'_3) - \frac{1}{2} (\sigma'_1 - \sigma'_3) \sin(2\alpha - 90^\circ).$$

Из десяти точек, изображенных на рис. 4 сплошными черными кружками, четыре представляют собой результаты испытаний образцов, установленных в сдвиговой коробке таким образом, чтобы плоскости скольжения совпадали с плоскостями раздела верхней и нижней половинок коробки.

из непрерывных лент, внутри которых глинистые частицы были так сильно ориентированы в направлении сдвига, что образовали области, обнаруживающие резкое погасание при наблюдениях через скрещенные николи. Область, включающая в себя главную «поверхность» скольжения, имела толщину порядка 20 μ . С ней было связано несколько вторичных областей сдвига, которые располагались внутри основной массы глины, показывающей умеренную ориентацию, не обязательно параллельную поверхности скольжения и имеющую толщину около 2,5 см. Она представляет собой размягченную зону, часто наблюдавшуюся непосредственно вблизи плоскости скольжения. В обоих краях этой зоны глина едва ли обнаруживала какую-либо ориентацию.

Области высоко ориентированных частиц наблюдались также, когда совершенно мягкая перемятая глина подвергалась большим деформациям (Astbury, 1960). Более того, опыты Дерека Петли в Империал Колледже показали, что остаточный угол сопротивления сдвига для глины Уолтонс Вуд, нормально-консолидированной от кашицы, приготовленной при пределе текучести, сопоставим со значением $\varphi_r = 13^\circ$, определенным при испытаниях ненарушенной переконсолидированной глины при больших деформациях* и при испытаниях по естественной плоскости скольжения.

Поэтому возможно допустить, может быть с небольшой степенью упрощения, что остаточное сопротивление глины при любом данном эффективном давлении является одним и тем же для нормально-консолидированной и переконсолидированной глины, как показано** на рис. 6. Если эта идея правильна, то тогда угол φ_r должен являться постоянным для каждой данной глины, независимо от его истории консолидации, и зависеть только от природы его частиц.

Некоторым подтверждением этой точки зрения являются данные, приведенные на рис. 7. Здесь на графике для некоторого числа нормально-консолидированных и переконсолидированных глин значения углов остаточного сопротивления сдвига показаны против величины глинистой фракции (весовой процент частиц мельче 2 μ). Не было найдено какого-либо отчетливого различия между двумя состояниями глины, тогда как все точки показывают очень отчетливую тенденцию уменьшения φ_r с увеличением содержания глинистых частиц. Действительно, эти результаты показывают, что если бы грунт состоял полностью из глинистых частиц, то угол остаточного сопротивления сдвига был бы непосредственно сравним с углом трения φ_p , определенного Хорном и Деере для

* Подобные результаты упоминаются Тидеманном, который нашел, что остаточное сопротивление глины Везер-Эльбы нормально-консолидированной от кашицы, мало отличается от остаточного сопротивления ненарушенных (переконсолидированных) образцов (Tiedemann, 1937).

** Таким образом, хотя и можно говорить, что переконсолидированная глина при больших деформациях в действительности ведет себя как нормально-консолидированный материал с нулевым отрезком сцепления, это утверждение является вообще правильным, если только мы сделаем сравнение с нормально-консолидированной глиной, которая сама была приведена в остаточное состояние.

различных слоисто-решетчатых минералов, включая биотит, тальк и хлорит (Horn and Deere, 1962), физические свойства которых, возможно, не очень отличаются от свойств таких глинистых минералов, как иллит или каолинит*.

Наоборот, кварцевые зерна в песке или пыли, будучи грубо сферическими по форме, не могут ориентироваться. Поэтому остаточный угол φ_r для песков и пыли всегда остается равным значению, приблизительно выраженному соотношением для частиц с беспорядочной ориентацией, срезываемых при постоянном объеме (Caquot, 1934)

$$\operatorname{tg} \varphi_r = \frac{\pi}{2} \operatorname{tg} \varphi_p.$$

Очевидно, что в общем случае, когда грунт состоит из частиц глины и пыли (и песка), пыль будет стремиться увеличивать φ_r по отношению к φ_p для глинистых частиц, препятствуя до некоторой степени полной ориентации глинистых частиц и, во всяком случае, при заметном содержании пыли, содействовать этому в некоторой мере, благодаря своему более высокому углу сопротивления сдвигу.

ОСТАТОЧНЫЙ ФАКТОР

Сталкиваясь с проблемой о том, надлежит ли при установлении устойчивости склона в переконсолидированной глине принимать в расчет пиковое или остаточное сопротивление, проектировщик стоит лицом к лицу с наиболее важным вопросом, с которым ему приходится иметь дело. Для иллюстрации этого положения я собрал на рис. 8 результаты испытаний четырех совершенно типичных переконсолидированных глин, индексационные свойства которых сведены в табл. 1.

Таблица 1
Индексационные свойства глин, данных на рис. 8
(средние значения)

Наименование глины	w_L	w_P	Глинистая фракция
Селсет (Selset)	26	13	17
Джари (Jari)	70	27	47
Лондонская глина (London Clay)	82	29	55
Уолтес Вуд (Walton's Wood)	53	28	69

Валунная глина из Селсет была консолидирована под умеренной толщиной льда, но она очень песчаниста; глинистая фракция составляет только 17%. Соответственно отрезок сцепления для пикового сопротивления невелик, и здесь падение между углами пикового и остаточного

* Эти тонкие испытания были проведены д-ром Х. М. Хорном и проф. Д. У. Деере путем измерения трения, развивающегося в плоскостях кливажа двух образцов слоисто-решетчатых минералов. Поэтому угол трения, полученный в таких испытаниях, является также углом сопротивления сдвигу совокупности частиц, обладающих совершенной ориентацией. Значения φ_p показаны на рис. 7 для минералов в водонасыщенных условиях.

сопротивления сдвигу составляет только 2° . Но даже и здесь, при анализе устойчивости склона в этих глинах, как это будет видно, разница между коэффициентами запаса, вычисленными по пиковому и остаточному значениям сопротивления, составляет более чем 30%.

Глина из Джари, в предгорьях Гималаев, принадлежит к верхнесинклинической толще* и была консолидирована под отложениями мощностью по меньшей мере 600 м. Эта глина была испытана в связи с проектированием плотины, образующей часть крупного проекта Мангла в Западном Пакистане. Образцы не обнаруживали заметных данных в пользу выветривания, и, как будет видно, пиковый отрезок сцепления высок. Действительно, глина является очень прочной в ненарушенном состоянии. Однако остаточное сопротивление не показывает отрезка сцепления, и угол сопротивления сдвигу равен 18° . При эффективном давлении, равном, например, $0,49 \text{ кг}/\text{см}^2$, пиковое сопротивление в 3,6 раза выше, чем остаточное, поэтому фактическая значимость решения вопроса о том, какое сопротивление должно приниматься в расчет, не вызывает сомнений.

Лондонская глина эоценового возраста была консолидирована под отложениями, впоследствии удаленными эрозией, мощность которых изменилась от 150 м в восточных частях Эссекса до 300 м в районах к западу от Лондона. Результаты испытаний, показанные на рис. 8, относятся к зоне выветрелых глин, типично простирающихся до глубины 12 м ниже дневной поверхности. Ниже будет дано несколько описаний оползней в этой зоне, для которых коэффициент запаса, вычисленный на основании пиковых сопротивлений, оказался примерно в 2,7 раза выше, чем при определении его на основании остаточных сопротивлений.

Наконец на рис. 8 приводятся данные для глины Уолтонс Вуд. Здесь необходимо отметить, что пиковый коэффициент запаса, вычисленный для действительной поверхности скольжения этого оползня, оказался примерно в три раза выше, чем результат, полученный при применении остаточных сопротивлений.

Поэтому вопрос о том, надлежит ли при расчете учитывать пиковое или остаточное сопротивление, должен быть снят, как имеющий чисто академическое значение. В оставшейся части лекции я, насколько возможно, кратко займусь рассмотрением тех доступных в настоящее время описаний оползней, которые смогут помочь пролить некоторый свет на эту проблему.

Мною в первую очередь будет даваться описание оползней, а затем будут представлены результаты анализа устойчивости оползня. Результаты будут выражены через средние эффективные напряжения $\bar{\sigma}$ и средние касательные напряжения $\bar{\tau}$, действующие на поверхности скольжения. На рис. 9 эти два значения дают точку, показанную

* Синклиническая система — толща песчаников, конгломератов, гравелитов и глинистых сланцев неогена, мощностью более 2000 м, выполняющая передовой прогиб Гималаев (прим. редактора).

сплошным черным кружком; эта точка остается постоянной (после достижения «длительных» условий), если не принимать во внимание относительно небольшие сезонные колебания порового давления. Фактически существующее значение \bar{s}' вычислено, принимая в расчет наилучшую оценку того порового давления, которое действовало при оползании.

Затем я приведу результаты лабораторных определений пикового и остаточного сопротивлений. Ссылаясь на рис. 9, можно непосредственно отсчитать пиковое сопротивление s_f и остаточное сопротивление s_r , соответствующие среднему эффективному давлению \bar{s}' .

Теперь, поскольку в каждом из этих случаев имел место оползень, коэффициент запаса должен был быть равен 1.0, и действительное среднее сопротивление сдвига \bar{s} глины во время оползания должно было быть равно среднему касательному напряжению τ . Таким образом, сравнивая значения s со значениями s_f и s_r , мы можем сразу видеть, является ли участвующее в оползании сопротивление глины пиковым, остаточным или иным промежуточным значением. Действительно, если концепция прогрессирующего разрушения справедлива для трещиноватых глин, мы можем ожидать, что среднее сопротивление этих глин уменьшается со временем; оползень происходит тогда, когда среднее сопротивление достигает значения, равного тому среднему касательному напряжению, которое, как указывалось выше, действует непрерывно с тех пор, как образовался склон.

Для того чтобы иметь удобное количественное выражение той величины, до которой упало среднее сопротивление, я введу понятие «остаточный фактор», определяемый из выражения:

$$R = \frac{s_f - \bar{s}}{s_f - s_r}$$

или

$$\bar{s} = R s_r + (1 - R) s_f.$$

Таким образом, в физическом смысле R представляет собой долю той полной поверхности скольжения в глине, вдоль которой сопротивление упало до остаточного значения.

Ясно, что если не происходит никакого снижения сопротивления, и вся глина обладает пиковым сопротивлением, то $R=0$. И наоборот, если среднее сопротивление достигло остаточного значения, то $R=1.0$. Для точки, показанной на рис. 9, среднее сопротивление упало более чем наполовину между двумя пределами, и R составляет около 0.6, т. е. около 60% поверхности скольжения проходит через глину, обладающую остаточным сопротивлением.

Цель изучения описания оползней, таким образом, заключается в определении величины R и, по возможности, в установлении связи с типом глины.

ОПИСАНИЕ ОПОЛЗНЕЙ

Джекфилд*

В 1952 г в деревне Джекфилд, Шропшир, на реке Северн, в 2 км вниз по течению от Айрон Бридж произошел оползень, разрушивший несколько домов и вызвавший крупные смещения железной и автомобильной дорог (рис. 10). В этой местности р. Северн течет по V-образной долине (так называемая горловина Айрон Бридж); ее эрозионная деятельность в значительной степени, если не полностью, протекала после отступления главного ледникового щита последнего континентального оледенения. Эрозия все еще продолжается, и склоны долины покрыты мозаикой оползней различного возраста.

Возможно, что предыдущие оползни могли проходить, во всяком случае частично, по существующим поверхностям скольжения, но склон был более или менее устойчивым длительное время, до 1950 г., когда появился предупредительный сигнал о неустойчивости, заключающийся в разрыве водовода, питающего коттеджи у берега реки. К концу 1951 г. были замечены дальнейшие движения, а к февралю 1952 г. стала опасной дорога. В течение следующих одного-двух месяцев оползень стал угрожающе развиваться. Шесть домов были полностью разрушены, газопровод должен был быть переложен в наземное положение, движение по железной дороге могло поддерживаться только благодаря ежедневной рихтовке (выверке) трассы, а второстепенная дорога вдоль реки была закрыта для движения. К настоящему времени наибольшее движение вниз по склону достигает 18 м.

Д-р Хенкел и я исследовали этот оползень осенью 1952 г. Движение, которое сделалось стационарным в течение лета, вновь возобновилось, и мы имели возможность наблюдать в четырех скважинах точную глубину поверхности скольжения (рис. 11).

Пласти, представленные очень жесткими глинами и аргиллитами, чередующимися с мергелистой брекчии и редкими прослойками угля, полого падают в юго-восточном направлении с простиранием, грубо параллельным поперечному сечению оползня**. Однако оползень был полностью ограничен зоной выветрелой трещиноватой глины, простирающейся от 6 до 7,5 м ниже поверхности***. Поверхность скольжения про-

* Описание Джекфилдского оползня было опубликовано ранее (Хенкел и Скемитон, 1958), но я недавно критически пересмотрел все первоначальные данные и пришел к выводам, в некоторых отношениях отличающимся от тех, которые были даны 10 лет назад.

** Эти отложения включают в себя верхнекаменноугольные пласти Колпорт.

*** Выветрелая глина хотя и является совершенно твердой и все еще сохраняющей характеристики переконсолидированной глины, несмотря на это она гораздо менее прочна, чем твердые, почти напоминающие скальную породу невыветрелые пласти. Этим объясняется то, что оползень был относительно неглубоким, вместо того чтобы простираться на значительную глубину, которую следовало ожидать в однородном связном материале.

ходила параллельно склону (который имел наклон 10°), на средней глубине 5,4 м. Длина оползающей массы, измеренная по склону, достигала 165 м; в зиму 1952/53 гг. уровень грунтовых вод в ряде точек достиг поверхности земли, хотя в среднем он был расположен на глубине 0,6 м.

Анализ сил, действующих на поверхность скольжения, показал $\bar{c} = 0,63 \text{ кг}/\text{см}^2$ и $\bar{\tau} = 0,20 \text{ кг}/\text{см}^2$.

Дренированные испытания на сдвиг образцов, взятых с глубины между 4,5 и 5,7 м, но не в непосредственной близости от плоскости скольжения*, показали параметры пикового сопротивления $c' = 0,11 \text{ кг}/\text{см}^2$ и $\varphi'_r = 25^\circ$ (рис. 12). Когда проводились эти испытания, мы еще не имели ясного представления о значении остаточного сопротивления. К счастью, в большинстве случаев мы все-таки продолжали наблюдения на всем пути перемещения сдвиговой коробки, и по этим результатам имели возможность дать приблизительную оценку остаточного угла сопротивления сдвига. Как видно из рис. 12, эта оценка дала значение $\varphi'_r = 19^\circ$. Весьма вероятно, что более правильное значение будет несколько ниже 19° .

Из рис. 13 видно, что пиковое и остаточное сопротивления, соответствующие среднему эффективному давлению $0,63 \text{ кг}/\text{см}^2$, действующему на поверхность скольжения, составляют $0,40$ и $0,21 \text{ кг}/\text{см}^2$ соответственно. Но, как указывалось выше, среднее касательное напряжение (а отсюда и среднее сопротивление сдвига) вдоль поверхности скольжения во время обрушения равнялось $0,20 \text{ кг}/\text{см}^2$.

Поэтому ясно, что когда произошел оползень, сопротивление глины было близким к его остаточному значению. Действительно, принимая $\varphi'_r = 19^\circ$, мы приходим к выводу, что остаточный фактор $R = 1,12$; если же принять во внимание аппроксимирующую природу φ'_r , я сомневаюсь в том, чтобы величина R существенно отличалась от 1,0.

Если выразить результаты иным путем, применив значение пикового сопротивления в анализе устойчивости склона в Джекфилде, то вычисленный коэффициент запаса окажется равным 2,06 (ошибка более чем на 100%, тогда как действительный коэффициент запаса равнялся 1,0). С другой стороны, даже при применении несколько грубого значения $\varphi'_r = 19^\circ$, вычисленный коэффициент запаса, основанный на остаточном сопротивлении, будет отличаться от правильного результата лишь на 11%.

Можно добавить, что значения \bar{c}' и $\bar{\tau}'$, вычисленные по действительным поверхностям скольжения, соответствуют среднему углу сопротивления сдвига 17° (при $c'=0$). Эта цифра, которую я получил путем

* Как и во многих оползнях, в переконсолидированных глинах мы нашли в Джекфилде зону размягченной глины, не более 5 см толщиной, содержащую поверхность скольжения. Испытание на сдвиг образца, вырезанного из внешнего края этой зоны, показало $c' = 0,07 \text{ кг}/\text{см}^2$ и $\varphi' = 21^\circ$. Значение φ'_r на самой плоскости скольжения экспериментально не определялось.

приближенного анализа, была подтверждена Моргенштерном, применившим более точный метод расчета.

Селсет

Во время одного раннего посещения участка, предложенного для строительства пластины Селсет в северном Йоркшире, около Миддлтон-ин-Тисдейль д-р Бишоп и я нашли интересный оползень, который произошел незадолго перед тем на сложенном валунными глинами склоне долины реки Люн. В течение 1955—1960 гг., когда производились работы на плотине, находящейся на небольшом расстоянии вверх по течению, были использованы различные возможности для исследования оползания и испытания образцов глины. Эти результаты были опубликованы (Skempton and Brown, 1961) и здесь необходимо лишь немногое добавить к ним для того, чтобы ввести это описание оползня в рамки настоящего исследования.

Во время паводков река размывает склоны долины и таким путем все еще расширяет свою пойму (рис. 14). Несмотря на это, процесс не протекает очень быстро (скорее в историческом, чем геологическом масштабе времени); карта Государственной службы съемок за 1856 г. показывает, что река находилась в то время примерно в ее современном положении по отношению к подошве склона. Поэтому не может быть сомнений в том, что мы имеем дело с «длительными» условиями.

Валунная глина значительно однородна, не имеет трещин или трещин отдельности и не обнаруживает почти никаких признаков выветривания, за исключением весьма неглубокой зоны сезонных изменений.

Точного определения положения поверхности скольжения не было произведено, хотя в верхней части склона были ясно видны трещины отрыва; поэтому были проанализированы различные возможные круги скольжения. Достаточно точными для наших целей характерными значениями среднего эффективного напряжения σ' и среднего касательного напряжения τ' являются $0,37$ и $0,31 \text{ кг}/\text{см}^2$ соответственно.

Трехосные и срезные испытания на сдвиг, проведенные на восьми образцах валунной глины, дали согласующуюся серию результатов, показывающих, что пиковое сопротивление может быть выражено параметрами $c' = 0,09 \text{ кг}/\text{см}^2$ и $\phi' = 32^\circ$. Испытания не были доведены до тех деформаций, которые мы, в свете дальнейшего опыта, считаем необходимыми для точного определения сопротивления, но даже и так возможно с достаточной уверенностью оценить эти параметры величинами $c'_r = 0$ и $\phi'_{fr} = 30^\circ$ (рис. 15).

Поэтому соответственно среднему эффективному давлению $\bar{\sigma}' = 0,37 \text{ кг}/\text{см}^2$ пиковое сопротивление составляет $s_f = 0,32 \text{ кг}/\text{см}^2$ и остаточное — $s_r = 0,21 \text{ кг}/\text{см}^2$ (рис. 16). Однако среднее касательное напряжение, а отсюда и среднее сопротивление сдвигу, во время оползня составляло $0,31 \text{ кг}/\text{см}^2$. Это чуть меньше пикового сопротивления; остаточный фактор $R = 0,08$.

Таким образом, если бы был произведен анализ оползня, применяя

$c' = 0,09 \text{ кг/см}^2$ и $\varphi' = 32^\circ$, то вычисленный коэффициент запаса был бы весьма близок к правильному значению, равному 1,0. Наоборот, при применении $c'_t = 0$ и $\varphi_t = 30$ вычисленный коэффициент запаса равняется 0,69, и ошибка составляет около 30%.

Заслуживает внимания, что пиковое сопротивление, по-видимому, было почти полностью мобилизовано одновременно вдоль всей длины поверхности скольжения. Даже в этой нетронутой нетрещиноватой глине можно было бы, вероятно, рассчитывать найти несколько более резко выраженные указания на прогрессирующее разрушение, чем то, которое соответствует остаточному фактору, равному лишь 8%. Тем не менее остается фактом, что анализ, основанный на пиковом сопротивлении, ведет к вполне удовлетворительному результату с практической точки зрения*.

Лондонская глина

Имеются данные о нескольких оползнях, которые произошли в выветрелой зоне лондонской глины. По всей толще лондонских глин можно видеть трещины, трещины отдельности и редкие зеркала скольжения, но эти особенности более заметны в выветрелой зоне, типичной на глубинах от 9 до 12 м (рис. 17). Очевидным признаком выветривания является коричневый цвет глины, в противоположность «голубому» (в действительности голубовато-серому) цвету невыветрелого материала. Однако более чувствительным индикатором выветривания является наличие тонких пленок таких минералов, как гетит и лимонит в некоторых из трещин и трещин отдельности. Эти продукты изменения часто обнаруживаются в глубинах, расположенных намного ниже границы «коричневой» глины.

Естественно, что параметры пикового сопротивления выветрелой глины изменяются в некоторой степени от участка к участку, но в качестве характерных значений может быть принято** $c' = 0,16 \text{ кг/см}^2$ и $\varphi' = 20^\circ$.

* Подобное же заключение может быть выведено из исследований оползня, который произошел 6 октября 1954 г. в глубокой выемке у Лодалена, около Осло (Севальдсон, 1960). Здесь глина морского происхождения была слегка переконсолидированной и нетрещиноватой, при $c = 0,10 \text{ кг/см}^2$ и $\varphi = 27^\circ$; $w = 29$, $w_L = 35$, $w_p = 19$ и глинистая фракция 46%.

Описания оползней в Селсете и Лодалене могут быть также интерпретированы как указание, что в этих участках ползучесть при сдвиге имеет небольшое влияние на пиковое сопротивление глины.

** Опыты на монолитах, взятых из глубокого шурфа у Эшфорд Коммон, около Стейнса, показали, что значения c' и φ' для невыветрелой лондонской глины значительно выше, чем значение для выветрелой зоны. Эти опыты были проведены в Империал Колледже и Строительной испытательной станции и опубликованы в статье д-ра А. У. Бишопа, Д. Л. Уебба и Р. П. Левина (Bishop et al., 1965).

Приведенные выше параметры пикового сопротивления сдвига для лондонской глины и других трещиноватых глин (невыветрелых или выветрелых) были определены на сравнительно малых образцах и в основном относятся к нетронутому материалу. Опыты на больших образцах показывают меньшие сопротивления, вследствие наличия трещин. Однако остаточные сопротивления должны быть независимы от размеров образца.

(рис. 18). Что касается остаточных сопротивлений, Уильям Уотсон (из Сайл Меканикс Лимитед) провел испытания на сдвиг на образцах, включавших в себя действительную плоскость скольжения, взятых из оползневого участка в Дедхеме, Эссекс; Петли (из Империал Колледжа) определил остаточные сопротивления трех образцов иенарушенной глины, применения технику возвратных срезных испытаний. Исследования показали, что τ_c составляет около 16° (рис. 18).

Результаты одного из возвратных испытаний при больших деформациях показаны на рис. 19, а зеркала скольжения в образце по окончании испытания — на рис. 20 (вкладка). Исследование под микроскопом тонкого сечения, приготовленного Ирли из образца глины, содержащего плоскость скольжения Дедхема, показывает область сильно ориентированных частиц, подобных тем, которые наблюдались в глине Уолтона Вуд, толщиной приблизительно 10 μ .

Зона размягченной глины, распространяющаяся грубо на ширину 2,5 см, по обе стороны от плоскости скольжения является характерной для лондонской глины; три характерных примера показаны на рис. 21. Видно, что влажность в непосредственной близости от плоскости скольжения составляет около 35%, а влажность окружающей неразмягченной глины — около 30%.

Обращаясь теперь к описанию оползней лондонской глины, коснемся вначале обрушения подпорной стенки в Кензал Грин, которое произошло в 1941 г* (рис. 22). Стенка имела значительную длину. Она была построена в 1912 г.; в 1929 г. произошло ее обрушение в наиболее высоком сечении, приблизительно в 75 м от оползня 1941 г. После восстановления в различных местах вдоль всей длины стенки были установлены наблюдательные пункты. Случайно оказалось, что один из этих топографических профилей был расположен всего в нескольких метрах от положения максимального движения в 1941 г. Таким образом, нам сопутствовала удача иметь непрерывную запись смещений за предшествующий обрушению период в 12 лет (рис. 22). В течение нескольких лет после начала наблюдений, когда стенка существовала уже 17 лет, скорость смещения была малой (около 6 мм в год). Но постепенно скорость увеличивалась, и, наконец, общее смещение достигло 45 см.

Трудно было бы представить лучшее доказательство прогрессирующего разрушения. Рассматривая кривую время-смещение на рис. 22, можно почувствовать, что среднее сопротивление глины уменьшается и приближается к действующему касательному напряжению; соответственно этому происходят все большие и большие движения по мере того, как сопротивление глины приводится к остаточному значению.

* Выемка Кензал Грин была открыта в 1835 г. для железной дороги Лондон-Бирмингем. Расширение произведено в 1875 г. и вторично в 1912 г., когда была сооружена существующая стенка. Мало вероятно, чтобы выемка 1875 г. имела какое-либо существенное влияние на глины, вовлеченные в обрушение в 1941 г. В качестве сотрудника Строительной исследовательской станции, руководимой д-ром Куллиногом, мне выпало счастье произвести исследования обрушения.

Анализ сил, действующих на поверхность скольжения, показывает, что $\sigma' = 0,39 \text{ кг}/\text{см}^2$. Поэтому средние пиковое и остаточное сопротивления равны $0,298$ и $0,112 \text{ кг}/\text{см}^2$ соответственно (рис. 23). Но среднее касательное напряжение вдоль поверхности скольжения составляет $0,186 \text{ кг}/\text{см}^2$. Эта величина представляет собой также и сопротивление сдвигу во время обрушения. Таким образом, может быть непосредственно вычислен остаточный фактор, так как $R = \frac{0,298 - 0,186}{0,298 - 0,112} = 0,61$.

Отсюда среднее сопротивление за период 29 лет упало примерно на 60% на пути от пикового к остаточному сопротивлению. Иными словами, сопротивление упало до остаточного значения вдоль 60% поверхности скольжения, тогда как пиковое значение сохранилось на остальных 40%.

Рассмотрим эту проблему с другой точки зрения. Если бы для всей поверхности скольжения было применено пиковое сопротивление, то вычисленный коэффициент запаса составил бы 1,6, тогда как, если бы было применено остаточное сопротивление, эта величина равнялась бы 0,6. Правильное значение коэффициента запаса равно 1,0 и параметры сопротивления сдвига, требующиеся для того, чтобы дать при расчете устойчивости этот результат, составляют $c' = 0,061 \text{ кг}/\text{см}^2$ и $\phi' = 17,5^\circ$; они соответствуют $R = 0,61$.

Очень близкие данные были получены при анализе оползня в выемке у Нортхолта* (рис. 24). Здесь отрывка была произведена в 1936 г., а обрушение произошло через 19 лет, в 1955 г. Вскоре после оползания было произведено исследование участка, включавшее в себя установку пьезометров, взятие образцов для испытаний и съемку значительной части поверхности скольжения в канавах, которые были позже прорыты на склоне для контрфорсных дрен.

Расчет методом дуги окружности, приближающейся к наблюдаемой поверхности скольжения, показывает, что $\sigma' = 0,37 \text{ кг}/\text{см}^2$. Соответствующие средние значения пикового и остаточного сопротивлений составляли $0,291$ и $0,105 \text{ кг}/\text{см}^2$ соответственно. Среднее касательное напряжение, а отсюда и среднее сопротивление сдвигу, действующее вдоль поверхности скольжения во время обрушения, составляло $0,186 \text{ кг}/\text{см}^2$. Следовательно, $R = 0,56$ и параметры сопротивления сдвига, соответствующие коэффициенту запаса, равногс 1,0, будут $c' = 0,07 \text{ кг}/\text{см}^2$ и $\phi' = 18^\circ$.

Третий оползень в выветрелых лондонских глинах, который я буду рассматривать, произошел в 1949 г. в выемке, открытой у Садбери Хилл в 1900 г. (рис. 25). Здесь не было осуществлено никаких оздоровитель-

* Описанные ниже в настоящей лекции исследования у Нортхолта, а также в Садбери Хилл и на различных природных склонах в лондонской глине проведены д-ром Хенкелом и мной при умелом сотрудничестве д-ра Ф. А. Делори. Были опубликованы статьи о Нортхолте (Henkel, 1957) и о природных склонах (Скемптон и Делори, 1960). В последние месяцы я пересмотрел эти данные и при помощи Ноела Симонса сделал новые расчеты устойчивости.

ных мероприятий, за исключением подрезки подошвы оползня там, где он надвигался на железнодорожный путь. Профиль склона после оползня показан пунктирной линией на рис. 25, откуда видно, что вдоль поверхности скольжения произошло смещение на несколько метров.

При исследовании этого оползня, между 1949 и 1956 гг., произошли небольшие перемежающиеся движения. Поэтому склон находился в состоянии предельного равновесия, и анализ сил мог привести к оценке остаточного сопротивления.

Было установлено три пьезометра; показанный на рис. 25 горизонт грунтовых вод является наивысшим, зарегистрированным в течение периода в 20 месяцев. Для этого горизонта грунтовых вод и показанного на чертеже круга скольжения были найдены среднее эффективное давление $\sigma' = 0,317 \text{ кг}/\text{см}^2$ и соответствующее касательное напряжение $\tau = 0,083 \text{ кг}/\text{см}^2$. Таким образом, если мы примем $c' = 0$, то может быть сразу вычислен остаточный угол сопротивления сдвигу, так как в этом случае $\operatorname{tg}\varphi_r' = \tau/\sigma'$; отсюда мы находим $\varphi_r' = 15^\circ$. Это значение находится в приемлемом согласии с вышеупомянутыми результатами испытаний*.

Могут быть также исследованы условия непосредственно перед оползанием, приняв, что пьезометрические уровни, наблюдавшиеся в 1956—1957 гг., достаточно типичны для уровня 1949 г. Результаты этого анализа можно суммировать, указав, что $R = 0,80$, при $c' = 0,03 \text{ кг}/\text{см}^2$ и $\varphi' = 17^\circ$.

Эти цифры должны рассматриваться как приближенные, так как они до некоторой степени зависят от довольно неопределенного представления о пьезометрических уровнях. Несмотря на это, если рассматривать эти данные в связи с результатами из Кензал Грин и Нортхолта, они безошибочно показывают тенденцию уменьшения сопротивления со временем, как и должно предполагаться в отношении материала, подверженного прогрессирующему разрушению**.

* Довольно близкая корреляция между лабораторными и полевыми значениями φ'_r , как это было найдено в Садбери Хилл и в Джекфилде (а также и в исследованиях, которые в настоящее время проводятся в Уолтонс Вуд), показывает, что остаточное сопротивление глины является в сущности независимым от времени разрушения в пределах от одной недели, как в лабораторных испытаниях, до периода в несколько лет. Необходимо отметить, что на некоторых оползнях кинетическая энергия движения, после начального обрушения, могла быть достаточной для того, чтобы вызвать «заезд» (overriding). В таких случаях оползающие массы приходят в состояние покоя в положении, соответствующем более низким сопротивлениям, чем истинное остаточное значение.

** Как указывалось ранее, существование трещин означает, что среднее сопротивление ниже, чем пиковое, если даже не происходит прогрессирующего разрушения. Поэтому вполне возможно, что лондонские глины непосредственно после отрывки могли иметь значение R около 0,25 просто в силу наличия трещин и трещин отдельности. Прогрессирующее разрушение со временем ведет к более высоким значениям R , как это было установлено в Кензал Грин, Нортхолте и в Садбери Хилл и на природных склонах.

В природных склонах масштаб времени так велик, что можно рассчитывать на падение сопротивления трещиноватой глины до остаточного значения. Наблюдения на природных склонах в лондонской глине, когда зеркало грунтовых вод располагается вблизи от дневной поверхности, показали, что деление на устойчивые и неустойчивые условия приблизительно отвечает наклону 10° (рис. 26). Были вычислены значения σ' и τ для случаев поверхности скольжения, расположенной на глубинах 1,5 и 2,4 м, и для случая горизонтов грунтовых вод, расположенных на глубине 15 и 75 см ниже дневной поверхности*. Результаты представлены на рис. 26, откуда можно видеть, что предельный угол склона 10° согласуется со значением остаточного угла сопротивления сдвигу, равного около 16° .

Вышеизложенные данные о лондонской глине приведены на рис. 27 и вытекающие из него следствия являются настолько согласующимися, что это дает мне основание думать, что мы работаем по правильному пути решения проблемы.

РЕЗЮМЕ

Рассмотренные в настоящей лекции остаточные факторы для различных оползней суммированы в табл. 2. Валунная глина Селсет, не имеющая трещин и гребчин отдельности, развивает свое пиковое сопро-

ЗНАЧЕНИЯ R

Таблица 2

Состояние глины	Стратиграфия	Местоположение	Природный склон N или выемка C (время до обрушения)	Остаточный фактор R
Нет трещин и трещин отдельности Невыветрелая	Валунная глина	Селсет	N	0,08
Трещины и трещины отдельности. Выветрелая	Лондонская глина	Нортхолт Кензал Грин Садбери Хилл	C (19 лет) C (29 лет) C (49 лет)	0,56 0,61 0,80
		Садбери Хилл 10° склоны	C (после оползня) N	1,04 0,92—1,06
	Колпэрские пласти	Джекфилд	N	1,12
Движение по существующим поверхностям скольжения в любых типах глини				Около 1,0

* Детали, относящиеся к полевым наблюдениям и к методу анализа устойчивости, могут быть найдены в статье Скемптона и Делори (1960), в которой было принято, что горизонт грунтовых вод совпадает с дневной поверхностью. Я понимаю теперь, что это было слишком упрощением.

тивление вдоль почти всей длины поверхности скольжения. Выветрелая лондонская глина очень сильно трещиновата и обладает трещинами отдельности. В таком материале будет некоторое уменьшение параметров сопротивления сдвига по отношению к пиковому значению, которое происходит еще во время процесса экскавации; исследования в Нортхолте и Кензал Грин показали, что в оползнях, которые произошли спустя 20 или 30 лет, среднее сопротивление глины является сниженным на величину около 60% на пути от пикового к остаточному сопротивлению. В Садбери Хилл, в котором оползень произошел почти через 50 лет, этот фактор увеличился до 80%, в то время как в природных склонах в лондонских глинах сопротивление, кажется, является близким к остаточному. Оползень Джекфилд, который также произошел в природном склоне в выветрелой трещиноватой глине, показал, что сопротивление глины было приблизительно равно остаточному значению.

Это, казалось, означает, что присутствие трещин и трещин отдельности может действительно приводить к прогрессирующему разрушению глинистых склонов и в пределе этот процесс может продолжаться до достижения остаточного сопротивления. Но в нетрещиноватых и в необладающих трещинами отдельности глинах уменьшение сопротивления от пикового значения является небольшим и даже пренебрежимо малым. В эту последнюю категорию могут также подпадать и уплотненные глинистые грунты, применяемые в насыпях и земляных плотинах*.

Наконец, если обрушение уже произошло, всякое последующее движение по существующей поверхности скольжения будет управляться уже остаточным сопротивлением, независимо от того, какого типа глина вовлечена в него. Вероятно, это является главной причиной исключительно низких углов сопротивления сдвига (сравнительно с общепринятыми пиковыми значениями), полученных для таких оползней, как, например, оползень в глинистых сланцах Бирпу из южного Саскачевана (Ringheim, 1964); анализ склона в Садбери Хилл после начального оползания подтверждает такую трактовку. Также весьма вероятно, что в зонах сдвига, вызванных тектоническими движениями, сопротивление должно иметь остаточное значение.

Описания оползней, на основании которых были сделаны эти заключения, все еще малочисленны, но они, вероятно, достаточны для укрепления уверенности в том, что имеется более логичное обоснование, чем то, которым до сих пор пользовались при анализе длительной устойчивости глинистых склонов.

* Эти три положения, сформулированные в настоящем параграфе, были впервые выдвинуты в дискуссии на 5 Международном конгрессе по механике грунтов. (Skempton, 1961).

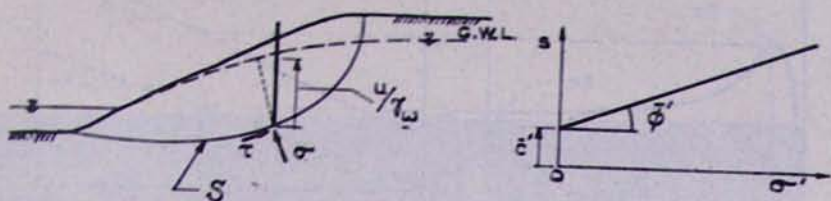
**PROFESSOR SKEMPTON'S FOURTH RANKINE LECTURE:
„LONG-TERM STABILITY OF CLAY SLOPES“**

FROM THE EDITOR

Fourth Rankine lecture, given by Professor A. W. Skempton before the British Geological Society in January, 1964 has a great significance for the understanding of processes which take place in slopes composed of the over-consolidated clays. This lecture was published in the journal „Géotechnique“ 1964, vol. 14, number 2, pp. 77—101. The present translation of this lecture into both Armenian and Russian languages is published by the kind consent of the author.

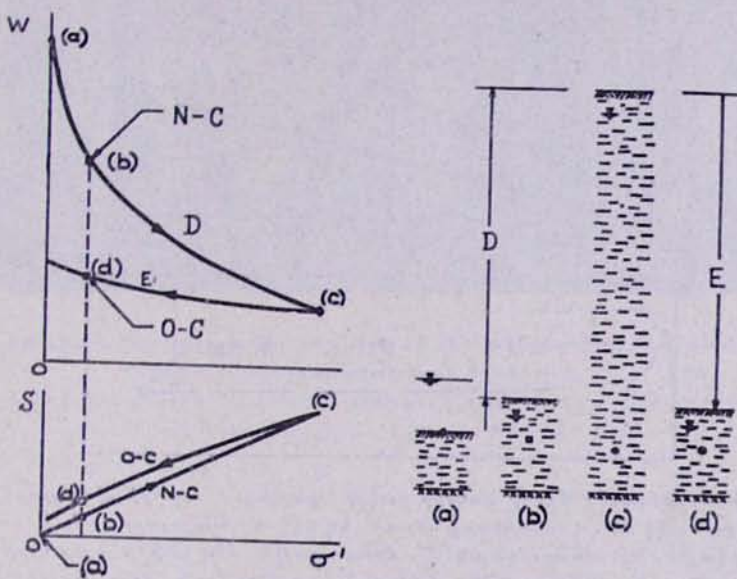
ЧРДЧНЛНРВНКЪ—ЛИТЕРАТУРА

- Гольдштейн М. Н., Лапидус Л. С. и Минюмский В.**, 1961. Некоторые вопросы статистической механики и реологии грунтов. Доклады к V Междунар. конгр. по механике грунтов и фундаментостроению, М., Госстройиздат, 14—21.
- Севальдсон Р. А.**, 1960. Оползень в Лодалене 8 октября 1964 г. Сб.: «Проблемы инженерной геологии», М., ИЛ, 2: 269—295.
- Скемптон А. В. и Делори Ф. А.**, 1960. Устойчивость природных склонов Англии, сложенных лондонскими глинами. Сб. «Проблемы инженерной геологии», М., ИЛ, 2: 231—239.
- Хенкел Д. и Скемптон А.**, 1958. Оползень в очень плотных глинах в районе Джекфилда, Шропшира. Сб. «Проблемы инженерной геологии», М., ИЛ, 1: 150—159.
- Astbury N. F.**, 1960. Science in the ceramic industry. Proc. Roy. Soc. A., 258: 27—46.
- Bishop A. W.**, 1954. The use of the slip circle in the stability analysis of slopes. Proc. European Conf. Stability of Earth Slopes, 1:13, Stockholm; reprinted in Géotechnique 5: 1: 7—17.
- Borowicka H.**, 1963. Der Wiener Routine-Scherversuch. Mitt. Inst. Grundbau u. Bodenmech. Wien 5: 7—13.
- Caquot A.**, 1934. Equilibre des massifs à frottement interne. Gauthier-Villars, Paris.
- Cottrell A. H.**, 1963. Fracture. Proc. Roy. Soc. A., 276: 1—18.
- Haefeli R.**, 1938. Mechanische Eigenschaften von Lockergesteinen. Schweiz. Bauzeitung, 111: 321—325.
- Haefeli R.**, 1950. Investigation and measurements of the shear strength of saturated cohesive soils. Géotechnique 2: 3: 186—208.
- Henkel D. J.**, 1957. Investigation of two long-term failures in London Clay slopes at Wood Green and Northolt. Proc. 4th Int. Conf. Soil Mech., London, 2: 315—320.
- Horn H. M. and Deere D. U.**, 1962. Frictional characteristics of minerals. Géotechnique, 12: 4: 319—335.
- Hvorslev M. J.**, 1937. Über die Festigkeitseigenschaften gestörter bindiger Böden. Ingenior. Skrifter A., Copenhagen, No. 45.
- Ringheim A. S.**, 1964. Experiences with the Bearpaw shale at the South Saskatchewan River dam. Trans. 8th Int. Conf. Large Dams, Edinburgh, 1: 529—550.
- Skempton A. W.**, 1961. Discussion on Section 6 (Earth Dams, Slopes and Open Excavations). Proc. 5th Int. Conf. Soil Mech., Paris, 3: 349—350.
- Skempton A. W. and Brown J. D.**, 1961. A landslide in boulder clay at Selset, Yorkshire. Géotechnique, 11: 4: 280—293.
- Tiedemann B.**, 1937. Über die Schubfestigkeit bindiger Böden. Bautechnik, 15: 433—435.
- Turnbull J. McN.**, 1952. Shearing resistance of soils. Proc. 1st Aust.—N. Z. Conf. Soil Mech., Melbourne, pp. 48—81.



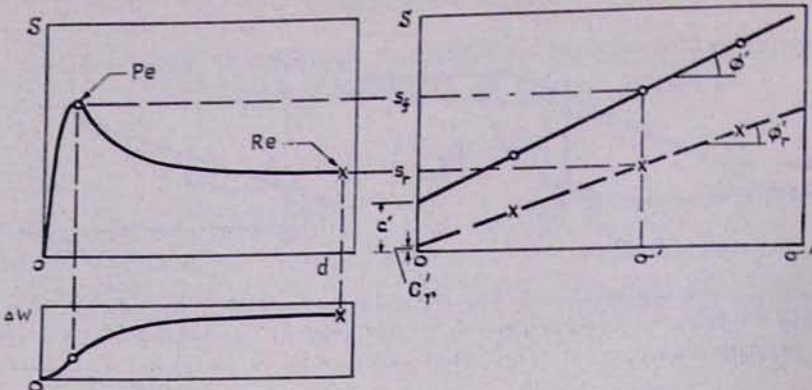
Ч. 1. Կամային լանջերի երկարատև կայունություն: S —սահեցման ժակերհույթ, GWL —գետառաջրերի հորիզոն, τ —չոչափող լարում, σ —լրից լարում, u —ծակութեային շնչում, γ' — $\gamma-u$ էֆեկտիվ ճնշում, $s=c'+\gamma' t g \phi'$ կամ զիմապրոթյուն սահքին, F —պաշարի գործողից: Կայուն լանջի համար $\Sigma \tau = \Sigma \frac{c'}{F} + \Sigma (\gamma - u) \frac{t g \phi'}{F}$, սահեցման ժամանակ $F=1.0$ և $\Sigma \tau = \Sigma s$.

Рис. 1. Длительная устойчивость глинистых склонов. S —поверхность скольжения, GWL —горизонт грунтовых вод, τ —касательное напряжение, σ —полное напряжение, u —поровое давление, $\gamma=\gamma-u$ —эффективное напряжение, $s=c'+\gamma' t g \phi'$ —сопротивление склону сдвигу, F —коэффициент запаса. Для устойчивого склона $\Sigma \tau = \Sigma \frac{c'}{F} + \Sigma (\gamma - u) \frac{t g \phi'}{F}$; при оползании $F=1.0$ и $\Sigma \tau = \Sigma s$

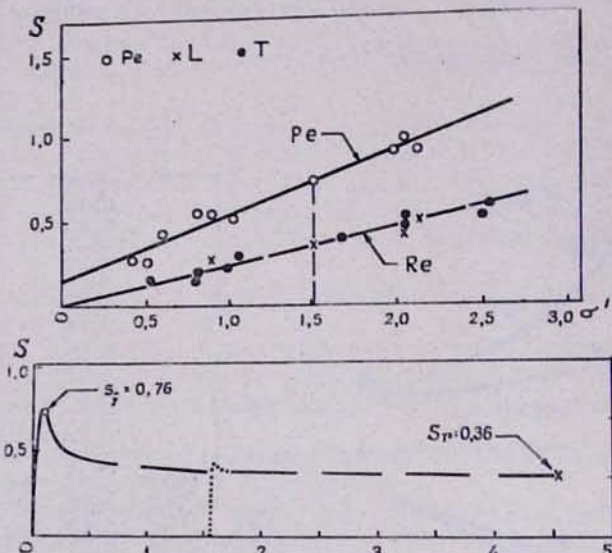


Ч. 2. Խորմալ-կոնսոլիդացված և զերկանությացված կամ: D —նսավածքահուսակում, E —էրոզիա, NC —խորմալ-կոնսոլիդացած, OC —զերկանությացած, w —խոնավություն: Մնացած նշումները տե՛ս նկ. 1:

Рис. 2. Нормально-консолидированная и переконсолидированная глина. D —осадкоакопление, E —эрозия, NC —нормально-консолидированная, OC —переконсолидированная, w —влажность; остальные обозначения см. рис. 1.

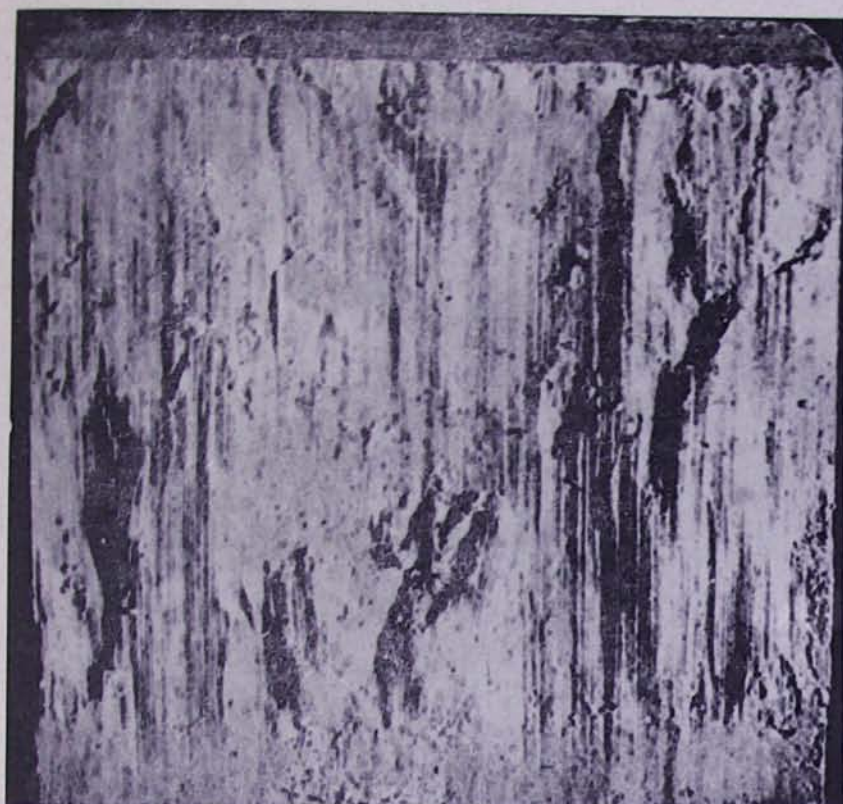


Числ. 3. Установлены 7 ресурсами: σ_e — пиковая сопротивляемость, σ_{re} — остаточная сопротивляемость, d — перемещение, Δw — изменение влажности. Пиковая сопротивляемость σ_e и остаточная сопротивляемость σ_{re} определяются по формуле $\sigma_e = \sigma_{re} + c'$. Рис. 3. Характеристика сдвига переконсолидированной глины. σ_e — пиковое, σ_{re} — остаточное, d — перемещение, Δw — увеличение влажности: остальные обозначения см. рис. 1. Величина c' обычно очень мала или равна нулю.



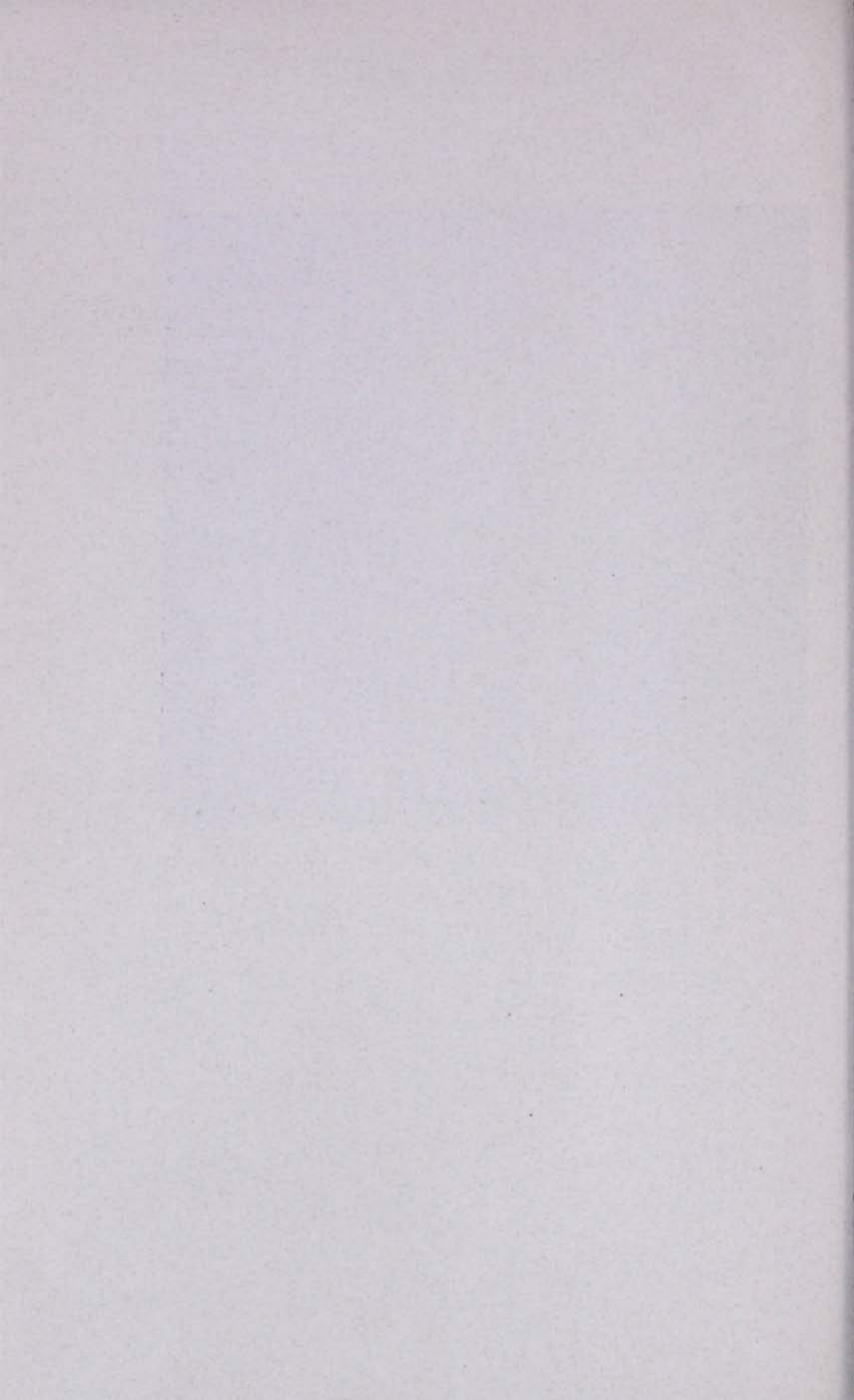
Числ. 4. Опытные данные для глины из Узлагонс Вуд. S — сопротивление сдвигу в кг/см², σ' — эффективное давление в кг/см², d — перемещение в см. σ_e — пиковое, σ_{re} — остаточное, L — остаточное, опыты на плоскости скольжения, а) параметры пикового сопротивления $c'=0,16$ кг/см², $\varphi'=21^\circ$; параметры остаточного сопротивления $c'_{re}=0$, $\varphi'_{re}=13^\circ$, б) длительность опыта 6 дней, эффективное давление $\sigma'=1,56$ кг/см².

Рис. 4. Испытания на сдвиг глины из Узлагонс Вуд. S — сопротивление сдвигу в кг/см², σ' — эффективное давление в кг/см², d — перемещение в см. σ_e — пиковое, σ_{re} — остаточное, L — остаточное, опыты на плоскости скольжения, а) параметры пикового сопротивления $c'=0,16$ кг/см², $\varphi'=21^\circ$; параметры остаточного сопротивления $c'_{re}=0$, $\varphi'_{re}=13^\circ$, б) длительность опыта 6 дней, эффективное давление $\sigma'=1,56$ кг/см².



Նկ. 5. Սամեցման հայելիներ, որոնց տուաջացել են մեծ դիֆորմացիաների հետևանքով
Ուղղանկա վառի շխախտված կավի նմուշի վրա:

Рис. 5. Зеркала скольжения, образовавшиеся при больших деформациях
на образце неизмененной глины из Уолтонс Вуд.



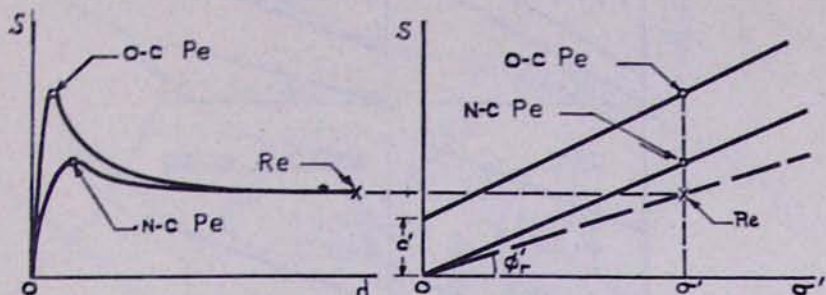


Рис. 6. Упрощенное соотношение между нормально-консолидированной и переконсолидированной глинами. *O-C Pe*—ник переконсолидированной, *N-C Pe*—ник нормально-консолидированной. Остальные обозначения см. рис. 1 и 4.

Рис. 6. Упрощенное соотношение между нормально-консолидированной и переконсолидированной глинами. *O-C Pe*—ник переконсолидированной, *N-C Pe*—ник нормально-консолидированной. Остальные обозначения см. рис. 1 и 4.

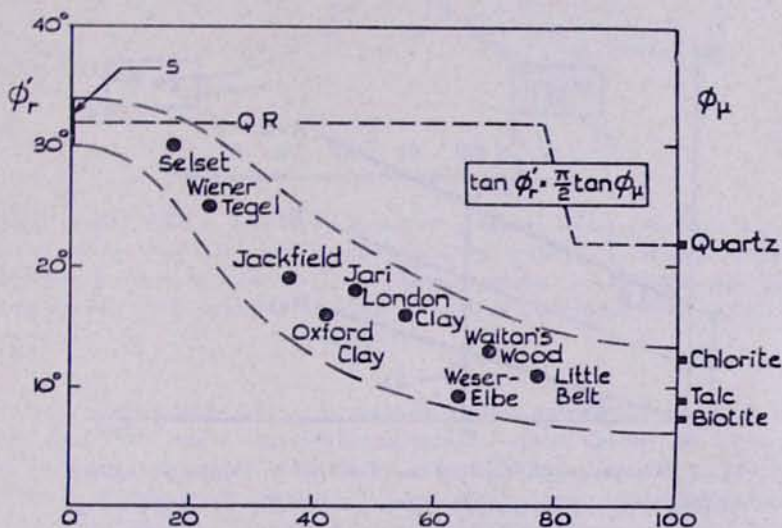
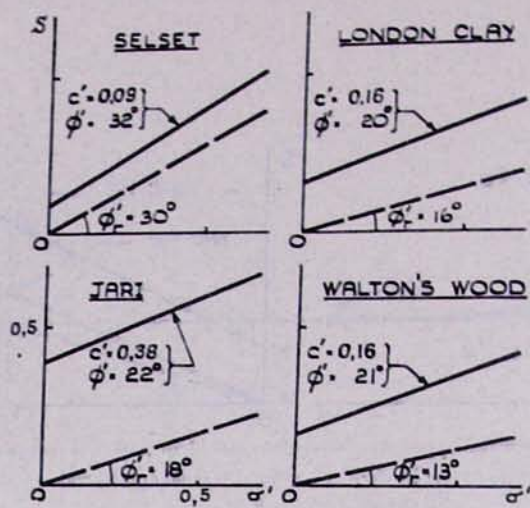


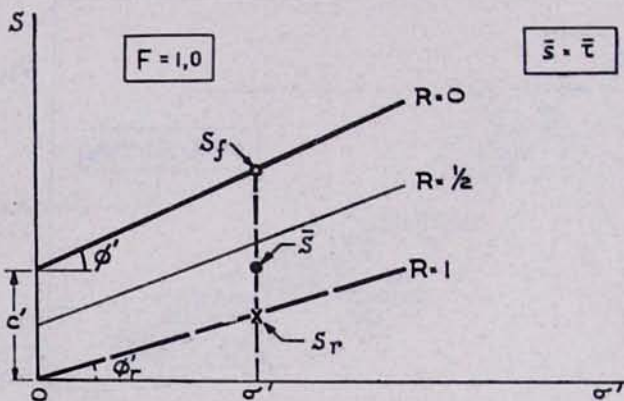
Рис. 7. φ' - S —уменьшение φ' с увеличением глинистой фракции. Абсциссы—глинистая фракция, *S*—пески, *QR*—гравийный аникальный кварц.

Рис. 7. Уменьшение φ' с увеличением глинистой фракции. Абсциссы—глинистая фракция, *S*—пески, *QR*—беспорядочно ориентированный кварц.



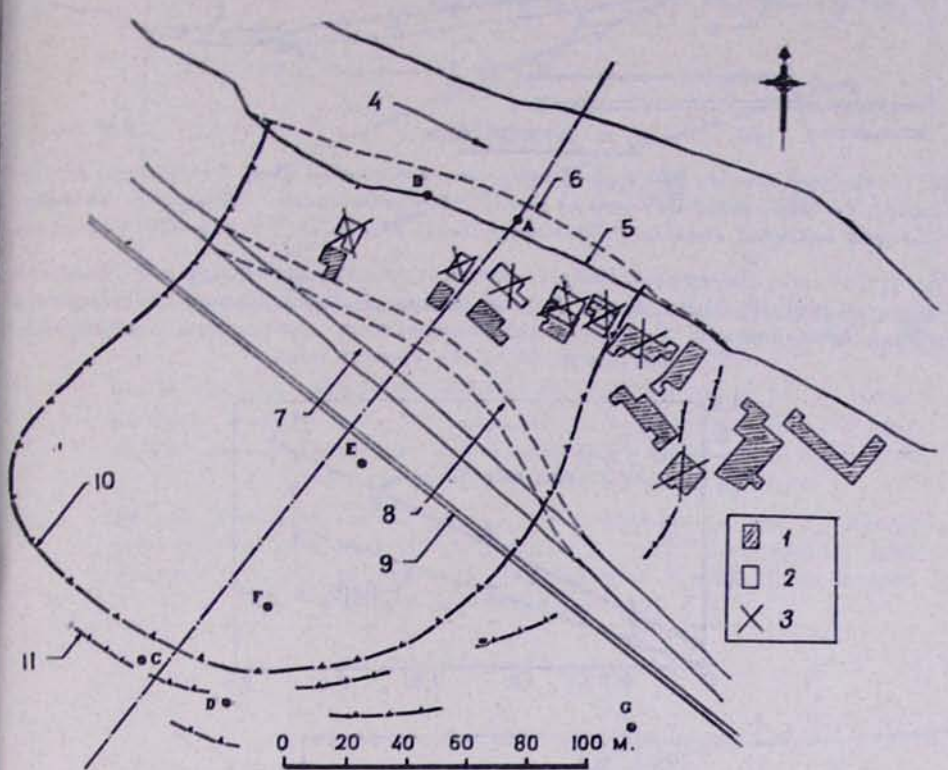
Чт. 8. Численные примеры для глинистых почв: условия неизмененности влажности и давления на грунт: №2 изображены на рис. 1.

Рис. 8. Пиковое и остаточное сопротивление переходящим состояниям глинистых почв: обозначения см. рис. 1.



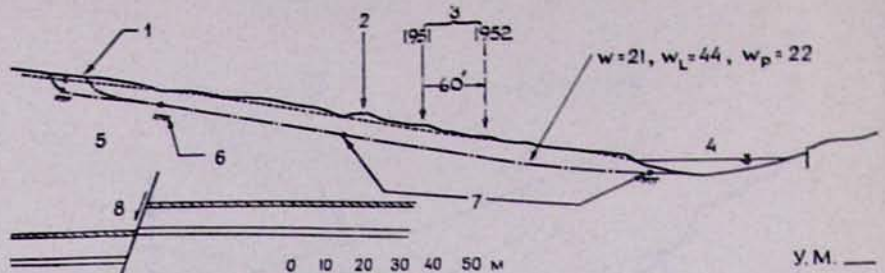
Чт. 9. Установление коэффициента остаточного сопротивления: s_f — пиковое сопротивление, s_r — остаточное сопротивление, s — среднее сопротивление сдвигу по поверхности скольжения, σ' — среднее эффективное давление по поверхности скольжения.

Рис. 9. Определение остаточного фактора. s_f — пиковое сопротивление, s_r — остаточное сопротивление, s — среднее сопротивление сдвигу по поверхности скольжения, σ' — среднее эффективное давление по поверхности скольжения.



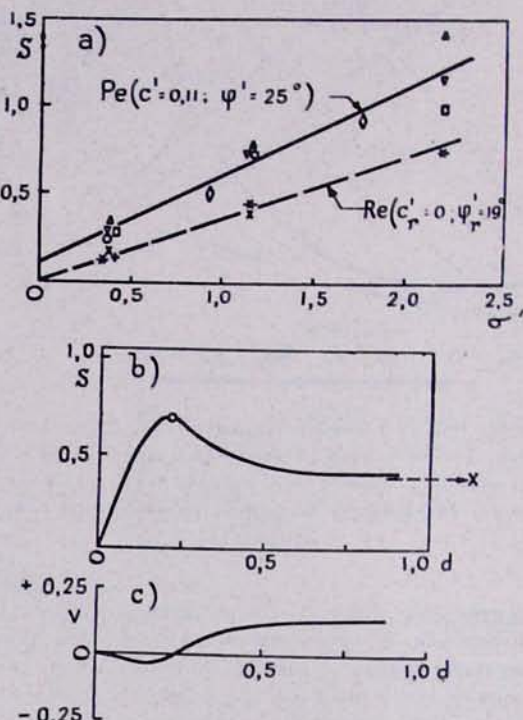
Ակ. 10. Ջեկֆիլի առանձն, 1952 թ. 1—տների սկզբնական դիրքը, 2—տների դիրքը սովանքից հետո, 3—բանգված տները, 4—Սևերն գետը, 5—զետափը մինչև սովանքը, 6—զետափը սովանքից հետո, 7—ճանապարհը սովանքից առաջ, 8—ճանապարհը սովանքից հետո, 9—երկաթգիծ (պահպանված էր իր դիրքում), 10—զետափը սովանքի մուտքից սահմանը, 11—երկրարգական սովանքներ:

Рис. 10. Оползень Джекфили, 1952 г. 1—первоначальное положение домов, 2—положение домов после оползня, 3—разрушенные дома, 4—река Северн, 5—берег реки до оползня, 6—берег реки после оползня, 7—автомобильная дорога до оползня, 8—автомобильная дорога после оползня, 9—железная дорога (поддерживалась на месте), 10—приблизительная граница главного оползня, 11—еरկրարգական սովանքներ:



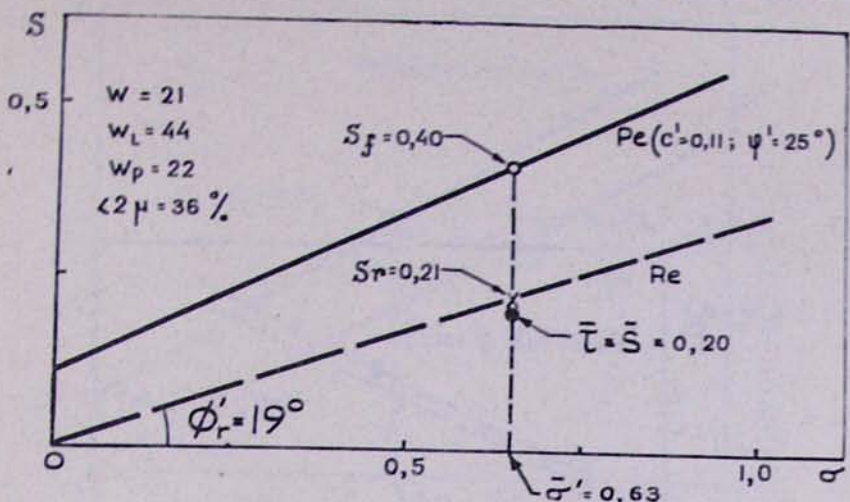
Ч. 11. Джекфильд, 1952 г. 1—главная трещина и подавленный краем земли участок, 2—железная дорога, 3—автомобильная дорога, 4—Уссурьская река, 5—пласт Колпорт, 6—вероятная граница выветривания, 7—наблюдаемая поверхность скольжения, 8—сброс. Наклон склона 10° . УМ—уровень моря.

Рис. 11. Оползень Джекфильд, 1952 г. 1—стенка отрыва главного оползня, 2—железная дорога, 3—автомобильная дорога, 4—река Северная, 5—пласт Колпорт, 6—вероятная граница выветривания, 7—наблюдаемая поверхность скольжения, 8—сброс. Наклон склона 10° . УМ—уровень моря.



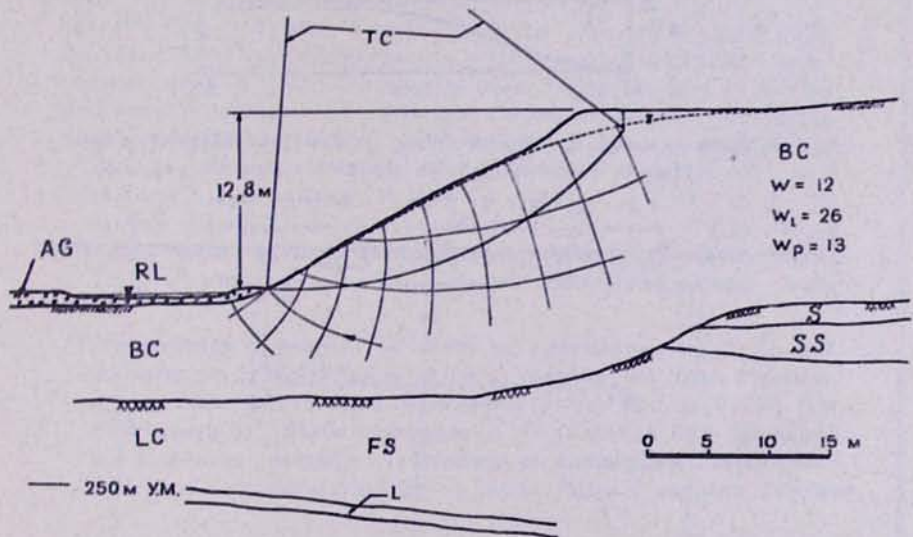
Ч. 12. Джекфильд, опыт № 1: а) — результаты испытания на сдвиг; б) — образец с глубиной 5,25 м; длительность опыта 8 часов, эффективное напряжение $\sigma' = 1,12 \text{ кг}/\text{м}^2$.

Рис. 12. Джекфильд, испытания на сдвиг. в)—вертикальные перемещения; остальные обозначения см. рис. 1; б)—образец с глубиной 5,25 м; длительность опыта 8 часов, эффективное напряжение $\sigma' = 1,12 \text{ кг}/\text{см}^2$.



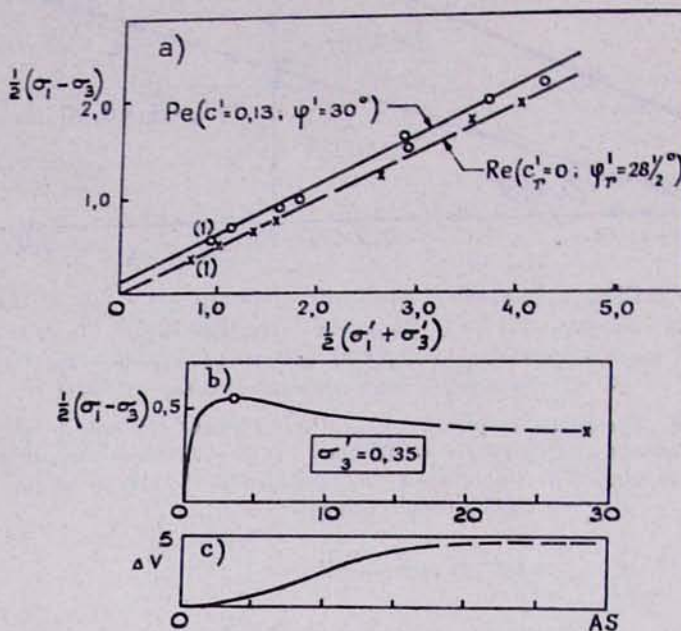
Числ. 13. Численный анализ устойчивости земляного склона при $R=1,12$, $\varphi'=17^\circ$: 1) по никовому сопротивлению $F=2,06$; 2) по остаточному сопротивлению $F=1,11$.

Рис. 13. Дженератор, сводка данных. Обозначения см. рис. 1. Анализ устойчивости показывает $R=1,12$ при $c'=0$, $\varphi'=17^\circ$. Вычисленный коэффициент запаса: 1) по никовому сопротивлению $F=2,06$, 2) по остаточному сопротивлению $F=1,11$.



Числ. 14. Шебаштский оползень: RL—река Люн, AG—аллювиальный гравий, BC—валунная глина, LC—нижнекаменноугольные, S—песчаник, SS—песчаник и сланцы, FS—трещиноватые сланцы, L—известник; TS—тинический круг скольжения; средний наклон склона 28° , 250 м УМ—250 м над уровнем моря.

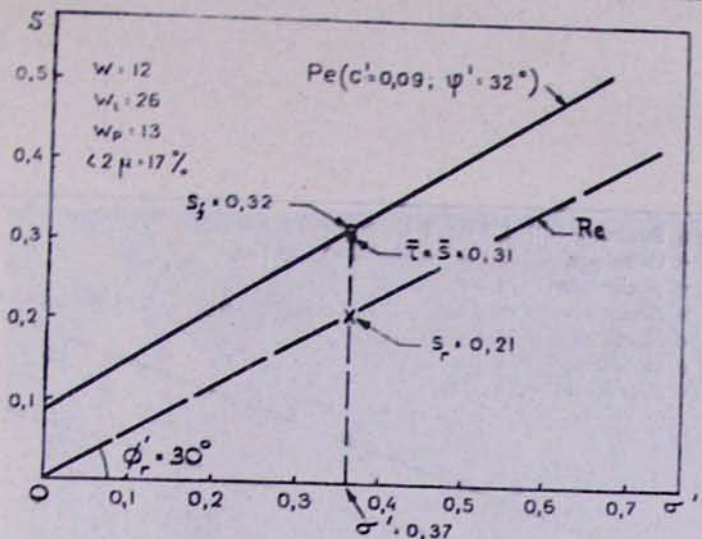
Рис. 14. Оползень Селсет. RL—река Люн, AG—аллювиальный гравий, BC—валунная глина, LC—нижнекаменноугольные, S—песчаник, SS—песчаник и сланцы, FS—трещиноватые сланцы, L—известник; TS—тинический круг скольжения; средний наклон склона 28° , 250 м УМ—250 м над уровнем моря.



Նկ. 15. Անվազության տարրի փորձեր: а) նմուշ *g*, փորձերի անողությունը 5 օր, Pc —պիկային ($c' = 0.13$ կգ/սմ², $\varphi' = 30^\circ$); Re —մնացորդային ($c'_r = 0$, $\varphi'_r = 28\frac{1}{2}^\circ$), б) նմուշ *g*, փորձ 1. Էֆեկտիվ ճնշում $\sigma'_3 = 0.35$ կգ/սմ², в) ΔV —ծավալի աճ (առկանելով), AS —առանցքային գեֆորմացիա (առկանելով): Միջին մեծություններ տեղայի համար՝ պիկային $c' = 0.09$ կգ/սմ², $\varphi' = 32^\circ$, մնացորդային $c'_r = 0$, $\varphi'_r = 30^\circ$.

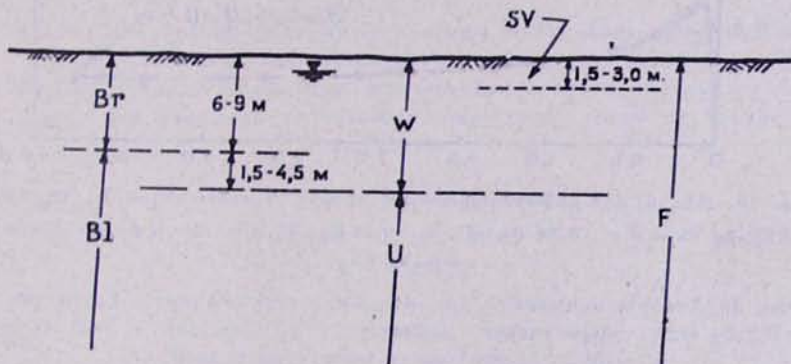
Рис. 15. Селсегт, испытания на сдвиг. а) образец *g*, длительность опытов 5 дней; Pc —пиковое ($c' = 0.13$ кг/см², $\varphi' = 30^\circ$); Re —остаточное ($c'_r = 0$, $\varphi'_r = 28\frac{1}{2}^\circ$); б)—образец *g*, опыт 1: эффективное давление $\sigma'_3 = 0.35$ кг/см²; в) ΔV —увеличение объема (в процентах).

AS—осевая деформация (в процентах). Средние величины для участка: пиковое $c' = 0.09$ кг/см², $\varphi' = 32^\circ$; остаточное $c'_r = 0$, $\varphi'_r = 30^\circ$.



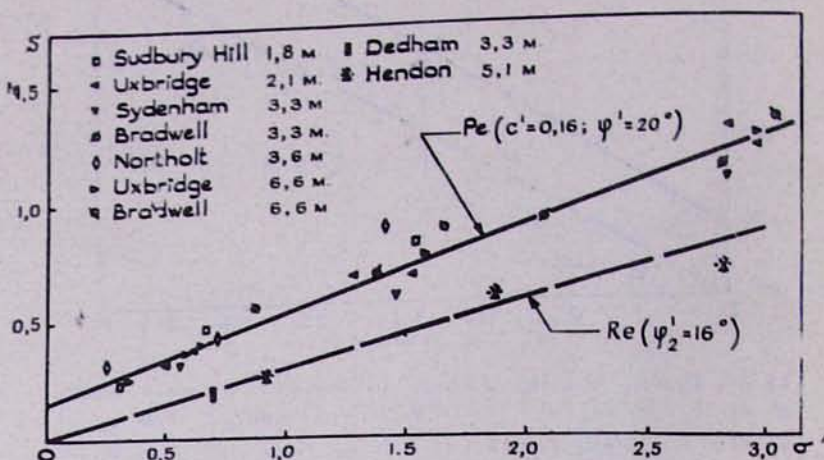
Նկ. 16. Անվազության տվյալների ամփոփում: Գրունտի հատկություններ՝ $w=12$, $w_L=26$, $w_p=13$, $\phi_{\text{н}}=17\%$, P_c —պիկային ($c=0.09$ կգ/սմ 2 , $\varphi'=32^\circ$), R_r —մնացորդային ($c_r'=0$, $\varphi_r'=30^\circ$); Մնացած նշումները անկախ նկ. 1: Կայունության անալիզը ցույց է տալիս $R=0.08$, $k_{pp} c=0.08$ կգ/սմ 2 և $\varphi'=32^\circ$; Հաշվարկած պաշարի գործակիցը՝ 1) կախված պիկային զիմարությունից $F=1.03$, 2) եղանակ մնացորդային զիմարությունից $F=0.69$.

Рис. 16. Селест, сводка данных. Свойства грунтов: $w=12$, $w_L=26$, $w_p=13$, $\phi_{\text{н}}=17\%$. P_c —пиковое ($c=0.09$ кг/см 2 , $\varphi'=32^\circ$), R_r —остаточное ($c_r'=0$, $\varphi_r'=30^\circ$). Остальные обозначения см. рис. 1. Анализ устойчивости показывает $R=0.08$ при $c=0.08$ кг/см 2 и $\varphi'=32^\circ$. Вычисленный коэффициент запаса: 1) по пиковому сопротивлению $F=1.03$, 2) по остаточному сопротивлению $F=0.69$.



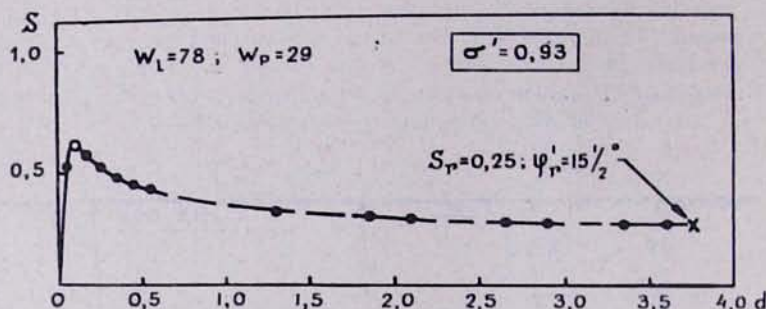
Նկ. 17. Լոնդոնյան կալի տիպական սրբաֆիլ: 150-ից մինչև 300 մ հաստությամբ շերտ սպազմած է կողենյան ժամանակից հետո: SV —սեզոնային տատանումներ, Br —«չափանակագույն», Bl —«երկնազույն», W —հողմանարգած, U —չհողմանարգած, F —ճեղքավոր:

Рис. 17. Типичный профиль лондонской глины. За время после эоцена эродирована толща мощностью от 150 до 300 м. SV —сезонные колебания, Br —«коричневый», Bl —«голубой», W —выветрелый, U —невыветрелый, F —трещиноватый.



Чт. 18. Лондонская глина, испытание на сдвиг. Pe —пиковое, $c'=0.16$ кг/см 2 , $\varphi'=20^\circ$. Re —остаточное, $\varphi'_r=16^\circ$.

Рис. 18. Выветрелая лондонская глина, испытание на сдвиг. Pe —пиковое, $c'=0.16$ кг/см 2 , $\varphi'=20^\circ$; Re —остаточное, $\varphi'_r=16^\circ$.

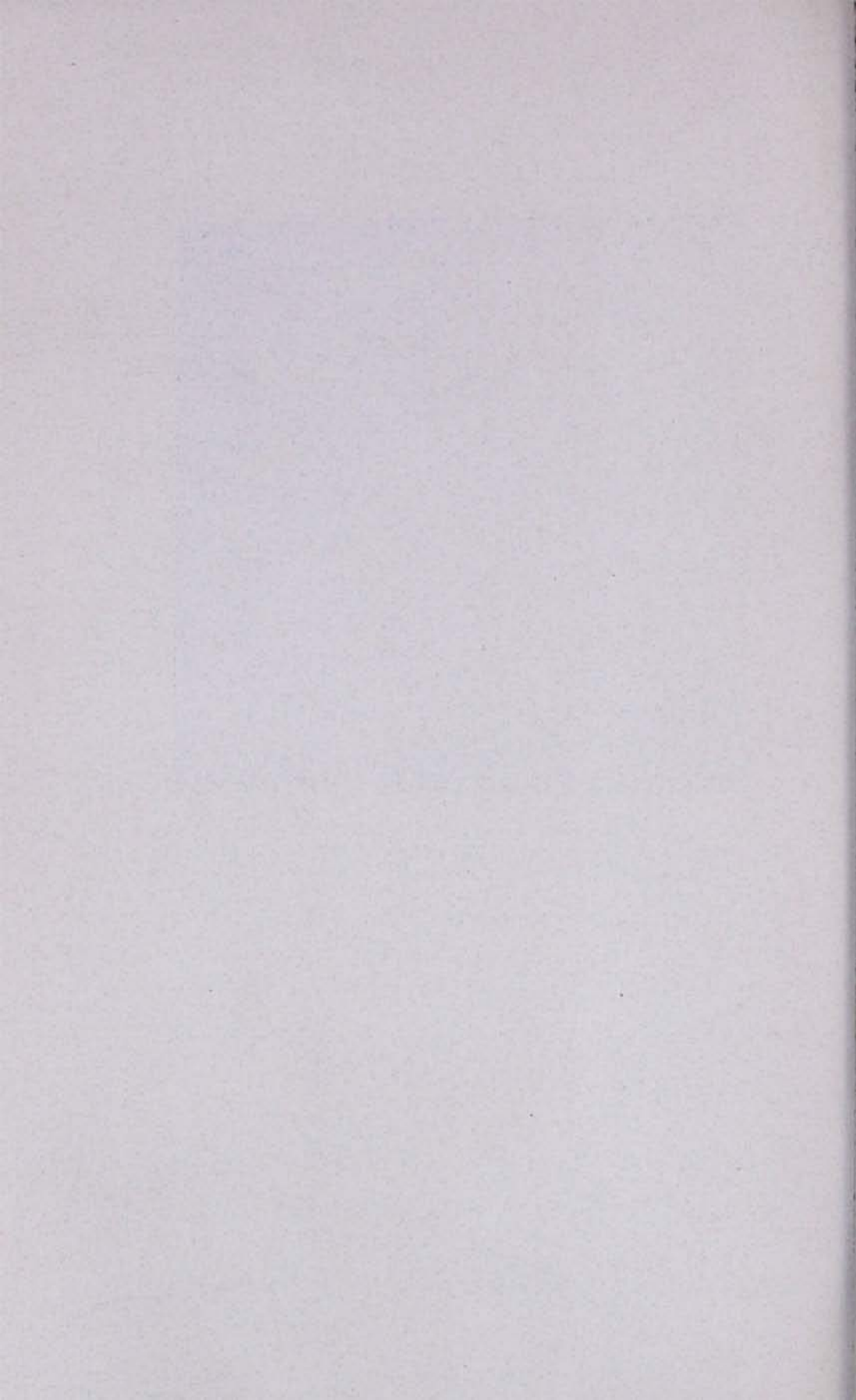


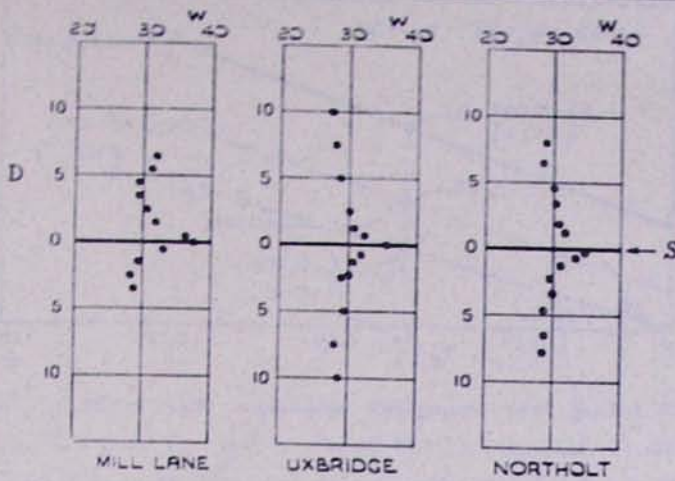
Чт. 19. Хендон, испытание при больших деформациях. Грунт— $w_L=78$, $w_p=29$; эффективное давление $\sigma'=0.93$ кг/см 2 , $s_r=0.25$ кг/см 2 , $\varphi'_r=15\frac{1}{2}^\circ$; Фордф. интенсивность 8 сут.

Рис. 19. Хендон, испытание при больших деформациях. Грунт— $w_L=78$, $w_p=29$; эффективное давление $\sigma'=0.93$ кг/см 2 , $s_r=0.25$ кг/см 2 , $\varphi'_r=15\frac{1}{2}^\circ$. Длительность испытания 8 дней.



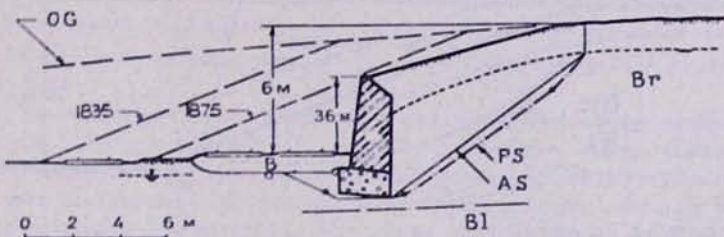
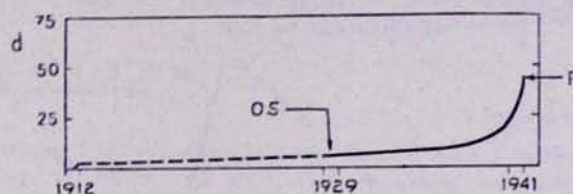
Նկ. 20. Ասելցման հայելիներ. որոնք առաջացել են մեծ զեֆորմացիաներով՝ փառ-
ձարկման հետևանքով լուղոնյան կավի նմաշի վրա՝ Հենգոնի ավտոճանապարհոց:
Рис. 20. Зеркала скольжения, образовавшиеся при испытаниях с большими
деформациями на образце лондонской глины из Хендонской
автодороги





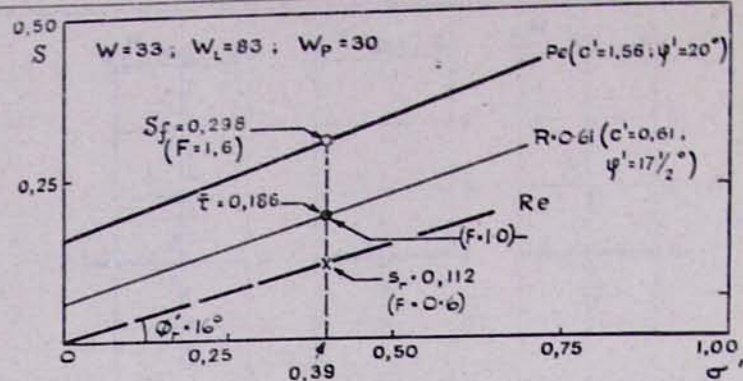
Чис. 21. Лондонская глина. Распределение влажности вблизи плоскости скольжения; D — расстояние вверх или вниз от поверхности скольжения в сантиметрах, W — влажность.

Рис. 21. Лондонская глина. Распределение влажности вблизи плоскости скольжения; D — расстояние вверх или вниз от поверхности скольжения в сантиметрах, W — влажность.



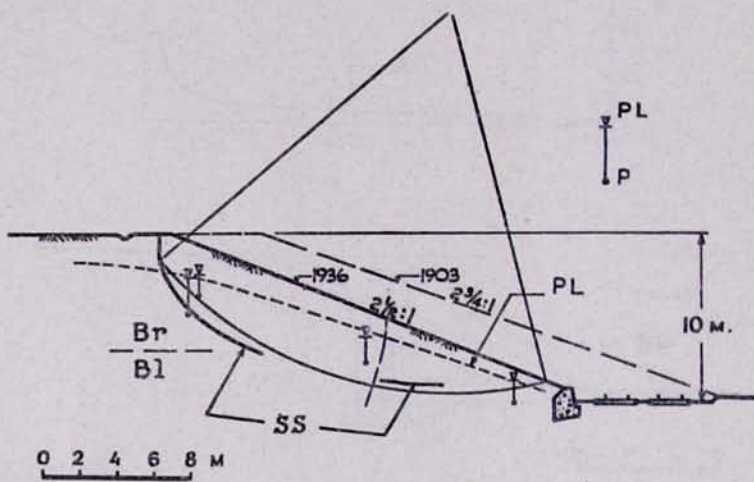
Чис. 22. Чебсарыл Трекин, атташ 1941 рүйгү: d — атташтың барлығы таңдаулашып шабактарға дейінгі күштің мәндердегі атқарулашының орталығы; F — атташтың 1941 жылда 29 жылдың негізінен, күр $R = 0,61$, $c' = 0,61$ кП/м² және $\varphi' = 17\frac{1}{2}^\circ$; OG — атқарулашының орталығы мәндердегі атқарулашының орталығы; Br — таңдаулашының շағауаншақағынан қашып тұнғандағы орталығы; $w = 33$, $w_L = 83$, $w_p = 30$; Bl — голубая лондонская глина; PS — вероятная поверхность скольжения; AS — расчетная поверхность скольжения; 30 м. У. М. — отсчет от уровня моря.

Рис. 22. Кепсаад Грип, обрушение стены в 1941 г. d — продвижение стены на уровне рельса. F — обрушение; обрушение произошло через 29 лет, при $R = 0,61$, $c' = 0,61$ кг/см² и $\varphi' = 17\frac{1}{2}^\circ$. OG — начальное положение поверхности грунта (приближенно), Br — коричневая лондонская глина, $w = 33$, $w_L = 83$, $w_p = 30$; Bl — голубая лондонская глина, PS — вероятная поверхность скольжения, AS — расчетная поверхность скольжения; 30 м. У. М. — отсчет от уровня моря.



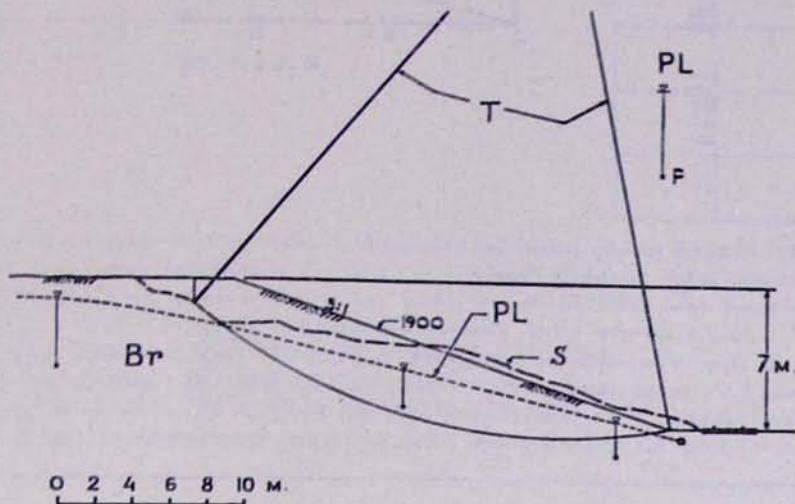
նկ. 23. Կենզական գրիմ, տվյալների ամփոփում: Կազ, $w=33$, $w_L=83$, $w_p=30$, Pe —պղիկային, $c'=1.56$ kq/m^2 , $\varphi'=20^\circ$, $R=0.61$ ($c'=0.61$ kq/m^2 , $\varphi'=17\frac{1}{2}^\circ$), Re —մնացորդային ($\varphi_r'=16^\circ$), 29 տարի հետո S -ի մեծությունը ընկալի մինչև 1.86 kq/m^2 , k_{pp} տեղի ունեցավ սողանքը: $U\bar{n}a\bar{s}o\bar{d}$ նշումները տե՛ս նկ. 1:

Рис. 23. Кензак Грин, сводка данных. Глина $w=33$, $w_L=83$, $w_p=30$. Pe —пниковое ($c'=1.56 \text{ кг}/\text{см}^2$, $\varphi'=20^\circ$), $R=0.61$ ($c'=0.61 \text{ кг}/\text{см}^2$, $\varphi'=17\frac{1}{2}^\circ$). Re —остаточное ($\varphi_r'=16^\circ$). Величина S через 29 лет упала до $1.86 \text{ кг}/\text{см}^2$, когда произошел оползень. Остальные обозначения см. рис. 1.



նկ. 24. Նորտխոլտ, սովամբ հանվածքի մեջ, 1955 թ.: Կազ, $w=30$, $w_L=79$, $w_p=28$, P —պիզոմետր, PL —պիզոմետրիկ գիծ, Br —լոնդոնյան շաղանակագույն կազ, $B1$ —լոնդոնյան երկնագույն կազ, SS —դիտված սահմանագծերութիւն մասներ: Սովամբը տեղի ունեցավ 19 տարուց հետո: Երջանագծի տպեղի մեթոդով վերլուծումը ցույց տվեց, որ բայրայման ժամանակ $R=0.56$, k_{pp} $c'=0.07$ kq/m^2 և $\varphi'=18^\circ$. 30 մ. Ս. Մ.—ծովի մակարդակից 30 մ բարձր:

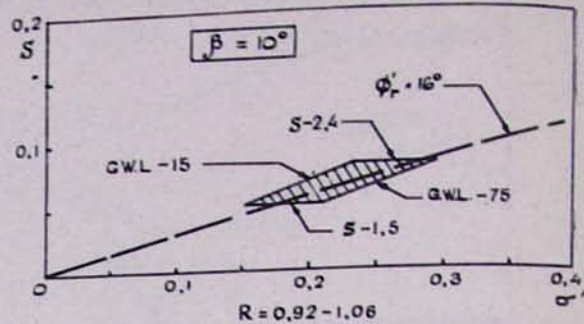
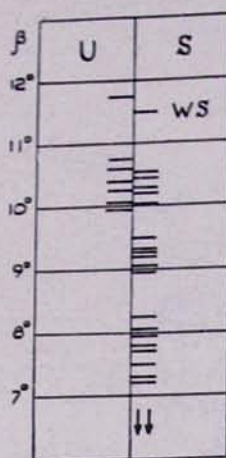
Рис. 24. Нортхолт, оползень в выемке, 1955 г. Глина $w=30$, $w_L=79$, $w_p=28$; P —пьезометр, PL —пьезометрическая линия, Br —коричневая лондонская глина, $B1$ —голубая лондонская глина, SS —наблюденные участки поверхности скольжения. Оползень произошел через 19 лет. Анализ методом дуги круга показал, что время обрушения $R=0.56$, при $c'=0.07 \text{ кг}/\text{см}^2$ и $\varphi'=18^\circ$. 30 м УМ—30 м над уровнем моря.



25 м. У.М.

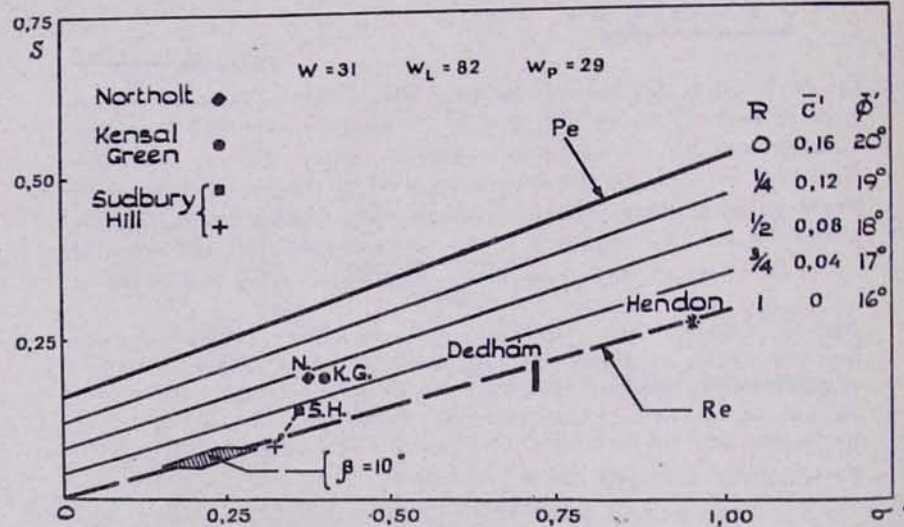
Նկ. 25. Սադբերի Հիլֆ սովանքը համեմածքի մեջ, 1949 թ.: Լոնգոռնյան շաղանակագույշն է կազ, $w = 30$, $w_L = 82$, $w_p = 28$, S —կտրվածք սովանքից հետո (գձանանույթ 1956 թ.), T —տիպական սահեցման շրջան: Անացած նշանակությունները տե՛ս նկ. 24: Սովանքը տեղի ունեցավ 19 տարուց հետո: Երջանագծի տպելիքի ժեթուզով վերլուծումը ցույց տվեց, որ բայթայման ժամանակ $R = 0,80$, երբ $c' = 0,03 \text{ кг/см}^2$ և $\varphi' = 17^\circ$: Կտրվածքի վելուծում սովանքից 5 հատուկ $c' = 0$, $\varphi' = 15^\circ$, 25 մ. Ս. Մ.—ծագի մակարդակից 25 մ բարձր:

Рис. 25. Садбери Хилл. Оползень в выемке, 1949 г. Коричневая лондонская глина $w = 30$, $w_L = 82$, $w_p = 28$. S —сечение после оползания (съемка 1956 г.), T —типичный круг скольжения; остальные обозначения см. рис. 24. Оползень произошел через 49 лет. Анализ методом дуги круга показал, что во время обрушения $R = 0,80$ при $c' = 0,03 \text{ кг/см}^2$ и $\varphi' = 17^\circ$. Анализ сечения после оползания: $c' = 0$, $\varphi' = 15^\circ$, 25 м УМ—25 м над уровнем моря.



Черт. 26. Природные склоны в лондонских глинах: U —неустойчивые, S —устойчивые, WS —заселенный склон; β —угол наклона, $GWL-15$ —гидравлический уровень грунтовых вод на глубине 15 см, $GWL-75$ —то же на глубине 75 см, $S-1.5$ —оползень через 1,5 м, $S-2.4$ —то же 2,4 м; остальные обозначения см. рис. 1.

Рис. 26. Природные склоны в лондонских глинах. U —неустойчивые, S —устойчивые, WS —заселенный склон, β —угол наклона, $GWL-15$ —горизонт грунтовых вод на глубине 15 см, $GWL-75$ —то же на глубине 75 см, $S-1.5$ —оползень через 1,5 м, $S-2.4$ —то же 2,4 м. Многовад независимы от глубины склона.



Черт. 27. Лондонские глины: виды склонов и физико-механические характеристики. Нортхолт—оползень через 19 лет, Кенсал Грин—оползень через 29 лет, Садбери Хилл—оползень через 49 лет, крестик—сопротивление после оползня; Дедхем—испытания на плоскости скольжения; Хендон— опыты при больших деформациях, $\beta=10^\circ$ (природные склоны); Ри—нормальное, Re —остаточное. Остальные обозначения см. рис. 1.

Рис. 27. Выветрелые лондонские глины, сводка данных. Нортхолт, оползень через 19 лет, Кенсал Грин, оползень через 29 лет, Садбери Хилл: квадратик—оползень через 49 лет, крестик—сопротивление после оползня; Дедхем—испытания на плоскости скольжения; Хендон—опыты при больших деформациях, $\beta=10^\circ$ (природные склоны); Ри—нормальное, Re —остаточное. Остальные обозначения см. рис. 1.

